

UNIVERSITATEA BUCURESTI  
FACULTATEA DE FIZICA

L U C R A R E   D E   D I P L O M A

CONTROL NEDESTRUCTIV HOLOGRAFIC. ELIMINAREA FRANJELOR  
PARAZITE DIN INTERFEROGRAMELE HOLOGRAFICE PRINTR-O  
METODA DE MOIRE GENERAT ELECTRONIC.

Conducători științifici:

Doctor inginer Vlad I.Valentin, I.F.T.A.R.

Doctor lector Bohățiel Teodor, Facultatea de Fizică.

Student: Axinte Vasile-Doru

Tin să mulțumesc în mod deosebit  
pentru amabilitatea și competențe cu care am  
fost îndrumat de Dr. V.I. Vlad în efectuarea  
lucrării, precum și pentru condițiile de lucru  
din laboratoarele de holografie ale I.F.T.A.R.

## CAPITOLUL 1

### 1.1. Controlul nedestructiv holografic, comparație cu alte metode.

Cerințele actuale ale industriei precum și numeroase alte domenii de activitate presupun pentru instalații și diverse componente fiabilitate și siguranță în funcționare într-o gamă foarte largă de parametri de funcționare. De asemenei considerente de ordin economic impun realizări cu un consum minim de materiale și de cele mai multe ori din punct de vedere tehnic gabaritul și greutatea redusă sănătăjoase.

Metodele de control nedistructiv s-au impus datorită posibilităților de testare a instalațiilor atât înainte cît și după punerea lor în funcțiune privind siguranță în funcționare, pe de o parte, și datorită informațiilor utile în proiectarea viitoarelor instalații la parametrii ceruți, pe de altă parte.

Metodele clasice de control nedistructiv, dintre care cele mai răspândite sănătăjoase sunt controlul cu radiații penetrante ( $X$ , gama) și controlul cu ultrasuflare sau informații utile în cazul materialelor solide de dimensiuni mari și forme geometrice regulate și nu prea complicate.

Restricțiile privind gabaritul și greutatea au impus tehnologii de realizare a unor componente cu suprafete foarte dure, rezistente și de formă arbitrară. Metodele cunoscute de control a suprafețelor (pulberi și lichide penetrante, cimpuri magnetice, măsurători tensometrice) pun în evidență doar defectele grosolane, evaluările fiind în cel mai bun caz calitative și nerelevând (chiar în cazul folosirii a două, trei metode diferite pentru un răspuns cît mai complet) toate informațiile necesare.

Apariția opticii coerente "o soluție în căutare de probleme" imediat după punerea la punct a laserilor și în special dezvoltarea interferometriei holografice oferă o nouă metodă de control nedistructiv.

Lungimea de undă mică a luminii ( $4 \div 7 \times 10^{-7}$  m) și faptul că procedeele interferometric permit să se detecteze variații de fractiuni din această lungime de undă în mod ușual, iar în montaje mai sofisticate se ajunge la precizii de ordinul  $10^{-11} \div 10^{-12}$  m au făcut din interferometria optică una din cele mai precise metode de măsură, cu un cîmp larg de aplicații. (Testarea componentelor optice, alinierea și măsurarea pieselor pe mașini unelte, verificarea etaloanelor de lungime, vizualizarea curgerii fluidelor, foto-elasticitatea, etc.).

Era de așteptat ca orice îmbunătățire fundamentală în tehniciile interferometric prezente să-și găsească imediat numeroase și variate aplicații.

Interferometria holografică este o astfel de îmbunătățire fundamentală, introducînd față de metodele clasice următoarele avantaje esențiale:

1) Permite măsurători pe suprafetele tridimensionale de forme și condiții de prelucrare arbitrară, fără componente optice cu parametrii exceptionali.

2) Permite examinarea microdeformațiilor complexe din mai multe perspective (o interferogramă holografică este echivalentă cu un număr mare de interferograme clasice formate în diferite puncte de observare).

3) Permite, static sau dinamic, înregistrarea și vizualizarea variațiilor unui obiect între două momente ale istoriei lui.

Legătura cu controlul nedistructiv s-a făcut imediat ce montajele de interferometrie holografică au fost puse la punct,

În felul următor: orice corp supus unui efort se deformează, suprafața sa modificându-se în funcție de mărime, direcția și tipul efortului aplicat, de natura, structura și forma corpului.

Orice defect al suprafeței, sau imediat sub suprafață se va manifesta ca o perturbare a formei suprafeței.

Sensibilitatea deosebită a metodei permite decelarea defectelor foarte mici în cazul unor solicitări moderate a pieselor de controlat.

Un alt avantaj deosebit este lipsa contactului cu aparatul de măsură (Influența luminii este total neglijabilă în funcționare), metoda de măsură preținându-se la măsurători de finețe mecanică deosebită (ex: vizualizarea vibrațiilor membranei unui difuzor sau vibrațiile cutiilor de rezonanță ale instrumentelor muzicale, etc.).

Cu avantajele esențiale enumerate, domeniile în care a pătruns interferometria holografică sunt numeroase și foarte variate, astfel că putem enumera doar câteva pentru a forma o imagine despre aplicabilitatea foarte mare:

a) Punerea în evidență a deformațiilor elastice (interferometrie holografică cu dublă expunere IHDE).

b) Vizualizarea relaxării biologice la plante (IHDE)

c) Examinarea gradului de prelucrare a unei lame de sticlă în două etape ale procesului (IHDE).

d) Determinarea regimului termic al unor dispozitive electronice (IHDE).

e) Curenții de convecție din flacără, bec cu gaze, puși în evidență cu IHDE.

f) Urmărirea undei de soc înregistrată prin IHDE.

g) Modurile de vibrație puse în evidență prin interferometrie holografică pentru generarea conturilor la: membrane

dе diverse forme, palete dе turbină, cutii dе rezonanță.

h) Obținerea liniilor dе nivel cu interferometrie holografică cu doi indici de refrație.

i) Determinarea deformațiilor în articulații (genunchi, umăr, etc.) (IHDE).

Ca orice activitate nouă interferometria holografică are numeroase dificultăți privind maniabilitatea, prețul dе cost, interpretarea corectă a rezultatelor, dar avantajele enumerate mai sus o impun în activitatea practică drept metodă dе lucru deosebit dе utilă.

Sensibilitatea deosebită a măsurătorilor interferométrice produce și efecte nedorite, perturbații minore (variații inerente ale instalațiilor, mici rotații sau translații, vibrații sau diverse ale modificări necontrolabile ale mediului dе lucru) producind efecte comparabile cu efectele fenomenului măsurat.

Luărarea de față propune o metodă dе eliminare a manifestărilor efectelor perturbatoare în interferometria holografică printr-o tehnică dе Moiré, fără a cere eliminarea fenomenelor perturbatoare (Cerință greu de îndeplinit fără un hardware optic foarte complex dublat dе experimente îngrijite și greoale).

Spre deosebire dе tehniciile Moiré traditionale, cu rețele desenate sau imprimate, relativ greu dе realizat într-o gamă largă dе frecvențe spațiale și dе factor dе umplere, se folosește o metodă dе generare electronică pe monitorul unei camere TV a rețelelor necesare, metodă dе o versatilitate remarcabilă.

## CAPITOLUL 2

### 2.1. CONSIDERATII TEORETICE SI EXPERIMENTALE ASUPRA HOLOGRAFIEI

Inregistrarea și reconstrucția amplitudinii și fazei unei unde optice transmise sau reflectate de un obiect iluminat coherent sunt domeniile de lucru ale holografiei.

Amplitudinea undei optice se poate înregistra și reda folosind oricare din mediile de înregistrare redare uzuale: filme, plăci etc.

Acstea medii răspund numai la intensități (pătratul amplitudinii).

Faza undei optice se poate înregistra (reda) prin conversie în variații de intensitate (la redare variațiile de intensitate sunt convertite în variații de fază).

Practic conversia fază intensitate se soluționează prin interferometrie astfel: undă transmisă sau reflectată de obiect  $O(x,y,z)$  ( $x,y,z,$ ) este suprapusă peste undă de referință  $R(x,y,z)$  provenind de la aceeași sursă coherentă și fiind egalizată în fază și figura de interferență rezultată este înregistrată pe fotodetector.

După developare (cînd fotodetectorul este o placă fotografică) placa hologramă se comportă ca o rețea de difracție complicată, cu linii ondulate (modulație în frecvențe spațiale) și cu transparentă variabilă (modulație în transmisie).

Iluminînd placa hologramă cu o referință identică cu cea de la înregistrare, unul din ordinele de difracție care apar ca constituie frontul undei  $O(x,y,z)$ .

Pentru analiza cantitativă a înregistrării și reconstrucției folosim următoarele notății:

$(X_o, Y_o, Z_o)$  - punct obiect curent

$(X_r, Y_r, Z_r)$  - punct referință

$(X_i, Y_i, Z_i)$  - punct imagine curent

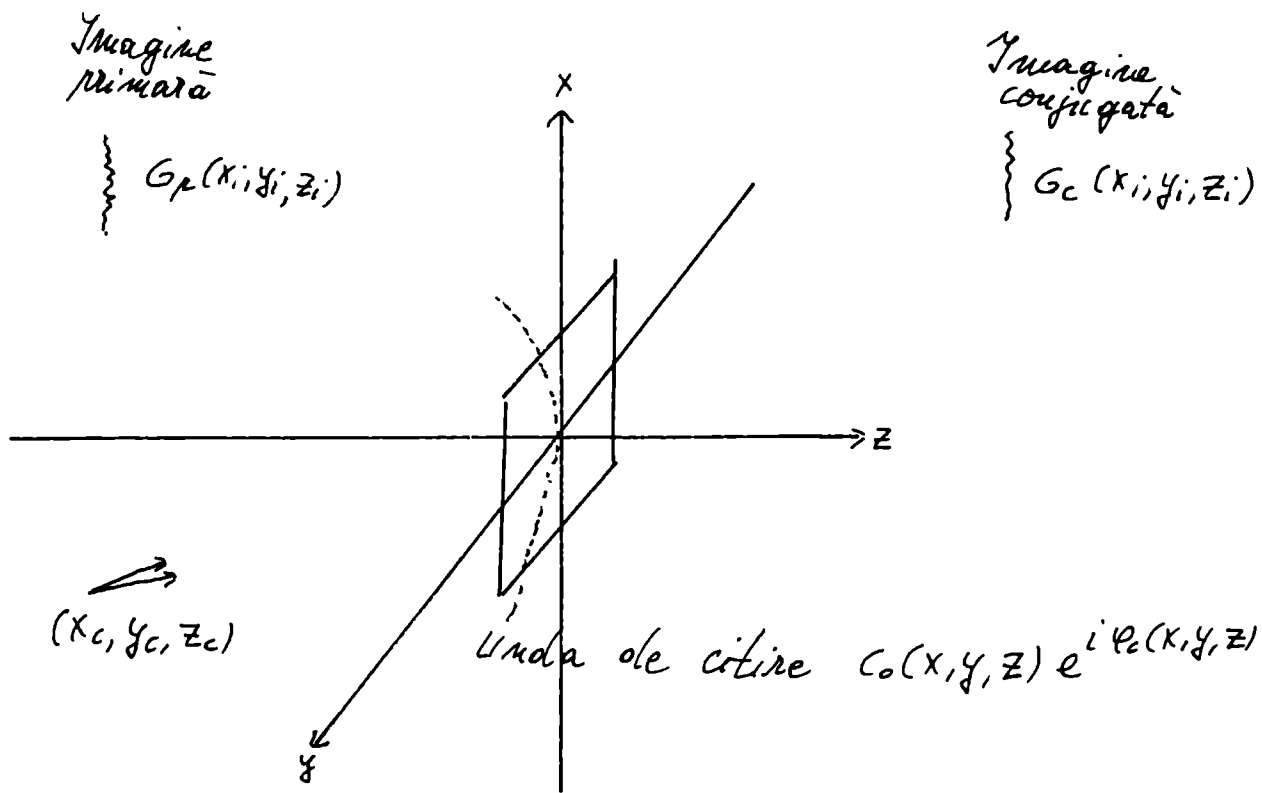
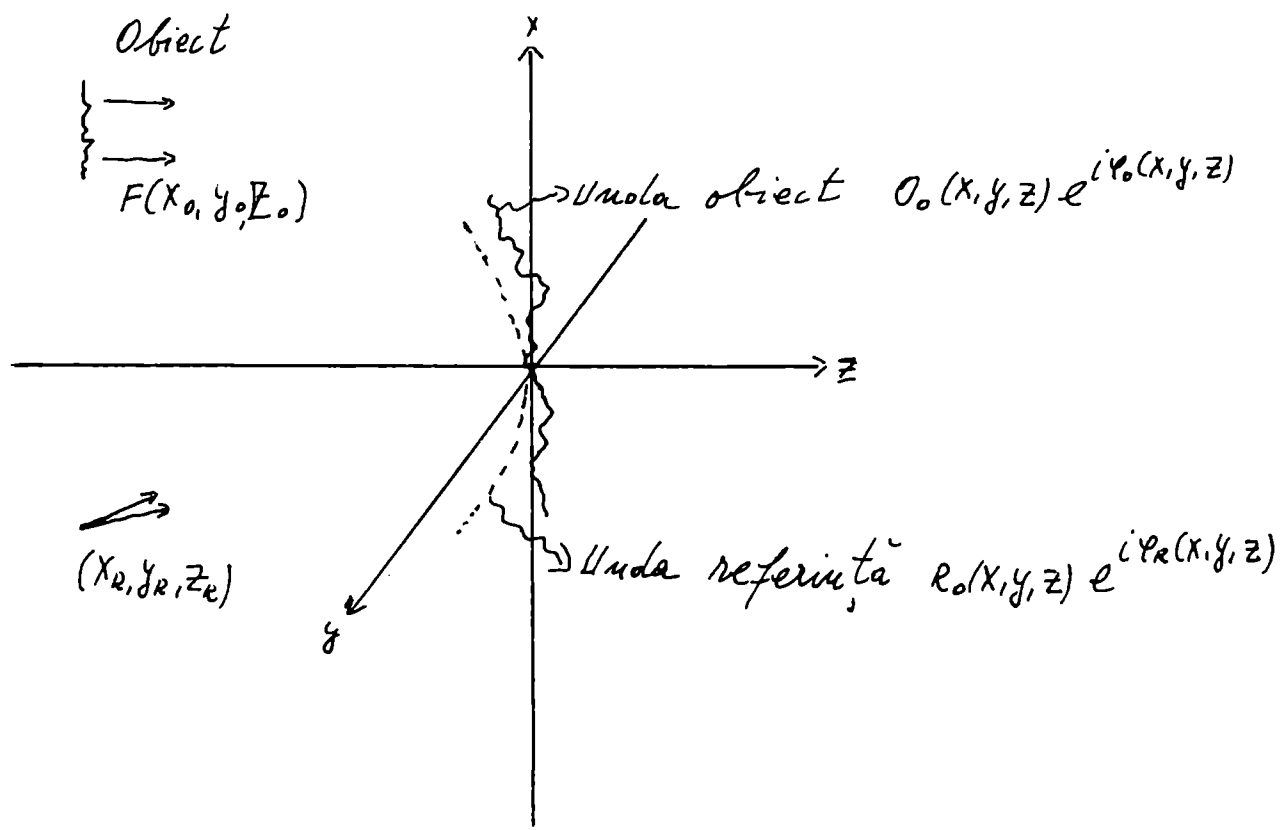
$(X_c, Y_c, Z_c)$  - punct referință la citire

$F(X_o, Y_o, Z_o)$  - distribuția de amplitudine luminoasă la obiect

$O(X_i, Y_i, Z_i)$  - distribuție de amplitudine corespunzătoare a obiectului la hologramă.

$R(X, Y, Z)$  - distribuție de amplitudine luminoasă corespunzătoare referinței de citire la hologramă.

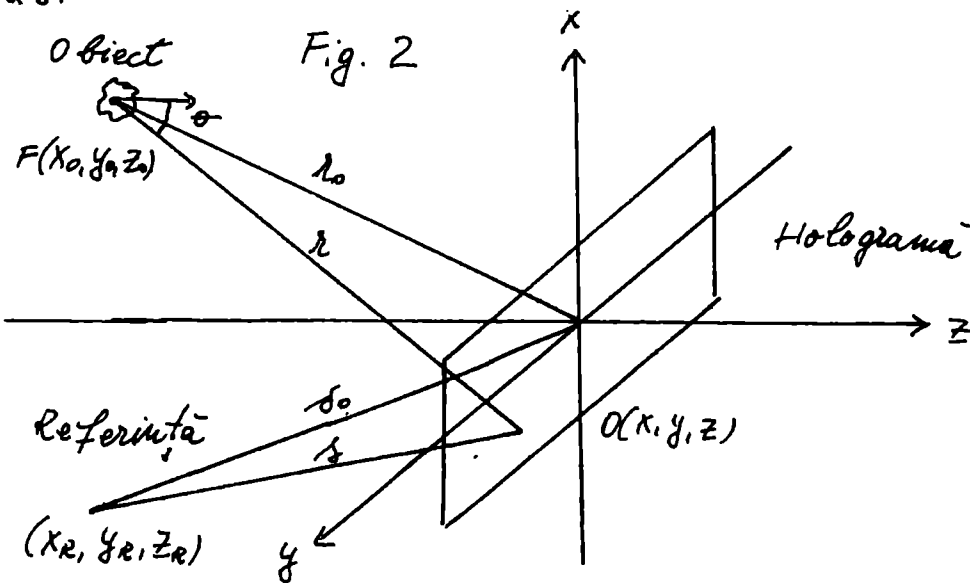
Fig. 1



### 2.1.1. Holograme plane

Pentru grosimi mici ale mediilor de înregistrare în comparație cu interfranjele figurii de interferență dintre undele  $O(x,y,z)$  și  $R(x,y,z)$  studiem cazul hologramelor plane.

In fig. 2 este reprezentată configurația de înregistrare Leith Upatnieks.



Conform principiului Huygens în planul hologramei vom avea distribuția de amplitudine luminoasă  $O(x,y,z)$  provenită de la obiect

$$(1) \quad O(x,y,z) = \frac{-i}{2\lambda} \int_{-\infty}^{\infty} \int_{-\infty}^{\infty} F(x_0, y_0) (1 + \cos \theta) \frac{e^{i\vec{k}\vec{r}}}{r} dx_0 dy_0$$

Forma bidimensională a relației (1) este:

$$(2) \quad O(x, z) = \left( \frac{-i}{4\lambda} \right)^{\frac{1}{2}} \int_{-\infty}^{\infty} F(x_0) (1 + \cos \theta) \frac{e^{i\vec{k}\vec{r}}}{r^{\frac{1}{2}}} dx_0$$

In planul hologramei  $Z = 0$ :

$$(3) \quad r = [(x_0 - x)^2 + (y_0 - y)^2 + z_0^2]^{\frac{1}{2}}$$

Pentru undă de referință  $R(x, y, z) = \frac{e^{i\vec{k}\vec{s}}}{\delta}$

$$(4) \quad s = [(x_R - x)^2 + (y_R - y)^2 + z_R^2]^{\frac{1}{2}}$$

Considerind  $z_0^2 \gg x_0^2, y_0^2$  avem aproximarea :

$$(5) \quad r \approx z_0 + \frac{x_0^2 + y_0^2}{2z_0} + \frac{x^2 + y^2}{2z_0} - \frac{xx_0}{z_0} - \frac{yy_0}{z_0} - \dots$$

Se folosesc în continuare:

$$(6) \quad O(x, y) = O_0(x, y) e^{i\varphi_0(x, y)} \quad și \quad R(x, y) = R_0(x, y) e^{i\varphi_R(x, y)}, \text{ cu } O_0, R_0 \in \mathbb{R}$$

Cîmpul total în planul hologramei :

$$(7) \quad H(x, y) = O(x, y) + R(x, y)$$

produce o expunere cu intensitatea

$$(8) \quad E(x, y) = |H(x, y)|^2$$

După developare holograma are o transmitanță în amplitudine:

$$(9) \quad t(x, y) = f[E(x, y)] \approx t_0 + \beta E(x, y) + \dots$$

Termenul constant  $t_0$  nu are importanță pentru analiza de mai jos.

Introducînd (8) în (9) avem:

$$(10) \quad t(x, y) \sim \beta |H(x, y)|^2 = \beta [O_0^2 + R_0^2 + O_0 R_0 e^{i(\varphi_0 - \varphi_R)} + O_0 R_0 e^{-i(\varphi_0 - \varphi_R)}]$$

Dacă iluminăm holograma cu o undă

$$(11) \quad C(x, y) = C_0(x, y) e^{i\varphi_C(x, y)}$$

ea produce următoarul răspuns

$$(12) \quad \Psi(x, y) = C(x, y) t(x, y) = \beta [C_0 O_0^2 e^{i\varphi_C} + C_0 R_0^2 e^{i\varphi_C} + C_0 O_0 R_0 e^{i(\varphi_C + \varphi_0 - \varphi_R)} + C_0 O_0 R_0 e^{i(\varphi_C - \varphi_0 + \varphi_R)}]$$

### 2.1.1.a Holograme Fresnel

Dacă în (5) nu putem neglija termenii pătratici în  $x_0$  și  $y_0$  vorbim despre holograme Fresnel.

Fie un obiect punctiform și sursa referinței de asemenea punctuală:

$$(13) \quad O_0(x, y) e^{i\varphi_0(x, y)} = B \frac{e^{i\vec{k}\vec{r}}}{r}$$

$$R_0(x, y) e^{i\varphi_R(x, y)} = A \frac{e^{i\vec{k}\vec{s}}}{s}$$

In fig 3 este reprezentat un montaj tipic pentru holografie Fresnel.

Presupunem A și B constante pe întreaga arie a hologramei și vom pune

$$(14) \quad r = \sqrt{(x - x_0)^2 + (y - y_0)^2 + z_0^2}$$

$$r_0 = \sqrt{x_0^2 + y_0^2 + z_0^2}$$

$$s = \sqrt{(x - x_e)^2 + (y - y_e)^2 + z_e^2}$$

$$s_e = \sqrt{x_e^2 + y_e^2 + z_e^2}$$

In acest mod obținem

$$(15) \quad \varphi_0 = k(\lambda - \lambda_0) = \frac{2\pi}{\lambda} \left\{ [(x-x_0)^2 + (y-y_0)^2 + z^2]^{\frac{1}{2}} - [x_0^2 + y_0^2 + z_0^2]^{\frac{1}{2}} \right\} \approx \\ \approx \frac{2\pi}{\lambda} \left[ \frac{1}{2z_0} (x^2 + y^2 - 2xx_0 - 2yy_0) + \dots \right]$$

și expresii analogice pentru  $\varphi_R(x, y)$  și  $\varphi_c(x, y)$

Termenul al treilea al ecuației de bază (12) va conține

$$(16) \quad \varphi_0 - \varphi_R + \varphi_c = \frac{\pi}{\lambda} \left[ (x^2 + y^2) \left( \frac{1}{z_0} - \frac{1}{z_R} + \frac{1}{z_c} \right) - \right. \\ \left. - 2x \left( \frac{x_0}{z_0} - \frac{x_R}{z_R} + \frac{x_c}{z_c} \right) - 2y \left( \frac{y_0}{z_0} - \frac{y_R}{z_R} + \frac{y_c}{z_c} \right) \right]$$

Considerînd această expresie ca reprezentînd primul ordin al undei sferice reconstruite

$$(17) \quad \varphi_R^{(1)} = \frac{\pi}{\lambda} \left( \frac{x^2 + y^2 - 2xX_p - 2yY_p}{Z_p} \right)$$

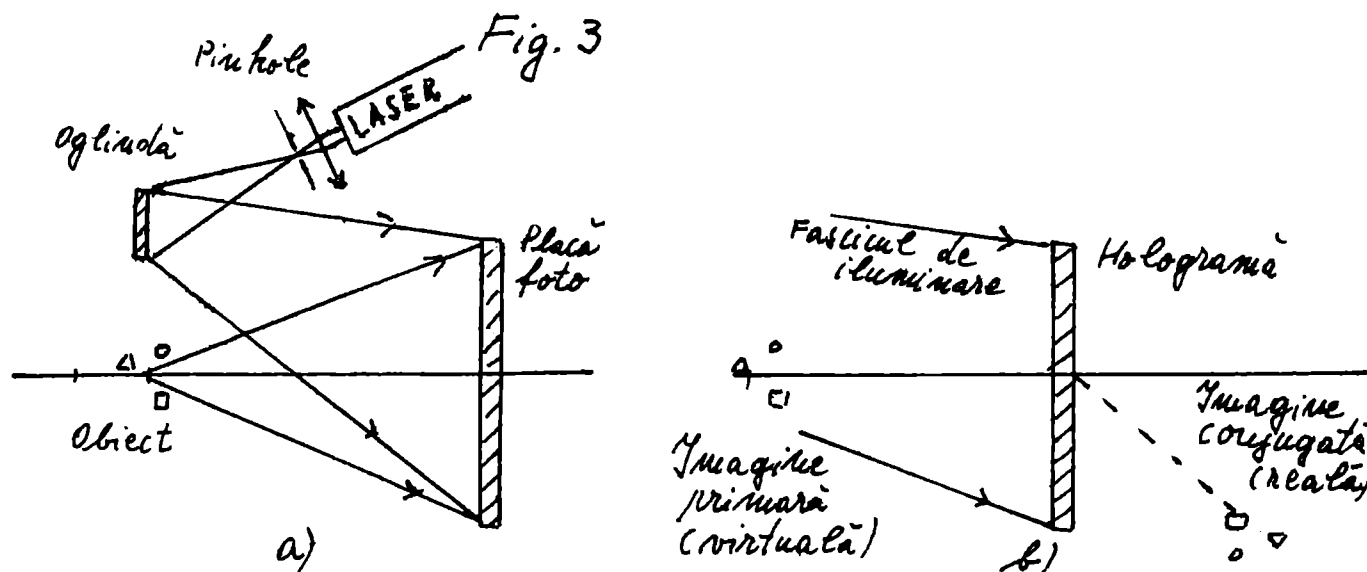
Cu  $Z_p$  raza și  $X_p, Y_p$  coordonatele centrului undei sferice și unda de citire identică cu unda de referință ( $Z_c = Z_r$ ), obținem pentru imaginea primară:

$$(18) \quad Z_p = z_0; \quad X_p = x_0; \quad Y_p = y_0 \quad (\text{identitate cu unda obiect})$$

și pentru imaginea conjugată (termenul al patrulea din (12))

$$(19) \quad Z_c = -z_0; \quad X_c = \frac{2x_0z_0 - x_0z_c}{2z_0 - z_c}; \quad Y_c = \frac{2y_0z_0 - y_0z_c}{2z_0 - z_c}$$

In fig 3 este reprezentat un montaj tipic pentru holografie Fresnel.



Fasciculul laser este divizat și expandat pentru a forma undele obiect și referință. Apoi unda reflectată de obiect și unda referință sunt suprapuse pe placa fotografică, avînd grijă ca drumurile optice să fie egale (fig. 3a)

Holograma, obținută prin developarea plăcii, trebuie plasată în poziția ei originală.

Observatorul, ce privește prin hologramă, va vedea o imagine nedoronată a obiectului, ca și cum el ar fi prezent în locul unde a fost înregistrat. (fig. 3 b).

În afara de această imagine primară (virtuală) holograma va difracta înspre observator o imagine conjugată (reală) care apare neclară și puternic distorsionată (fig. 3b). Imaginea conjugată posedă o inversie de profunzime (paralaxă) și o focalizare inversă,

Adesea în holofrafie se folosește o undă de referință plană:  $z_r \rightarrow \infty$ ,  $\alpha_r$  unghiul între  $\vec{k}$  și axa  $z$  în planul  $Xz$  (fig. 4 a b).

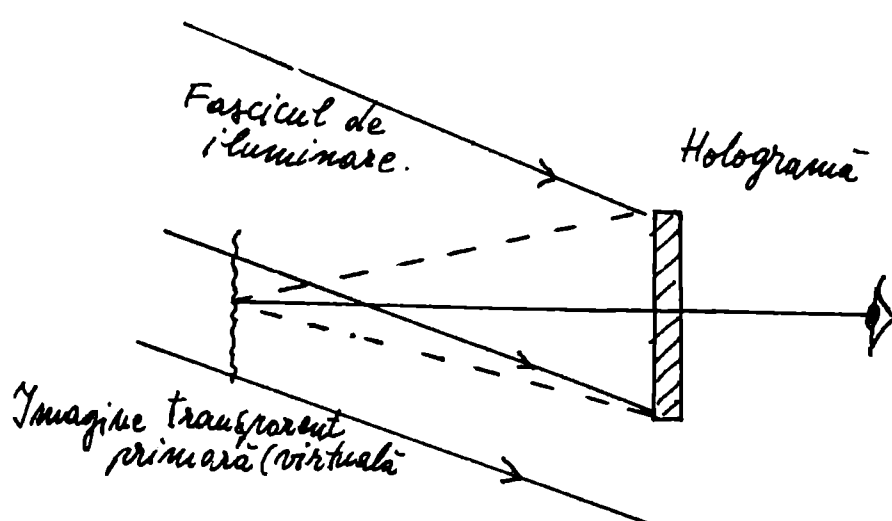
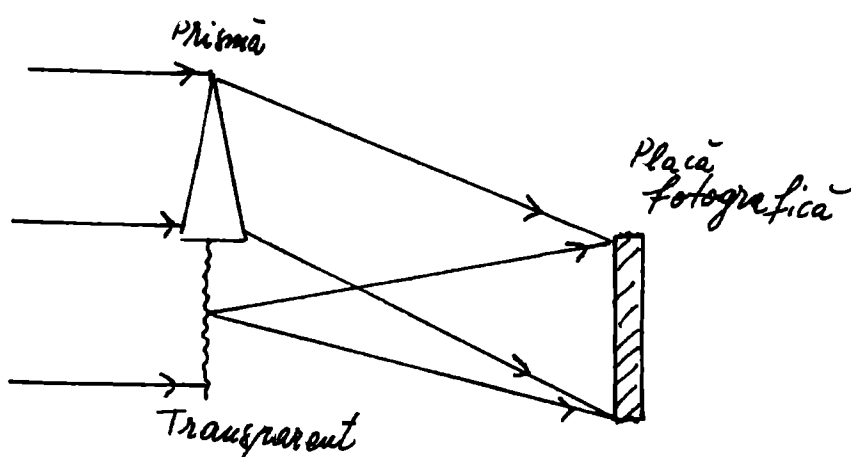
$$(20) \quad \varphi_R = \frac{2\pi}{\lambda} X \sin \alpha_R ; \quad \varphi_c = \frac{2\pi}{\lambda} X \sin \alpha_c$$

$$(21) \quad \varphi_0 - \varphi_R + \varphi_c = \frac{\pi}{\lambda} \left[ \frac{x^2 + y^2}{z_0} - 2X \left( \frac{x_0}{z_0} - \sin \alpha_R + \sin \alpha_c \right) - 2y \frac{y_0}{z_0} \right]$$

$$(22) \quad Z_R = z_0 ; \quad X_R = x_0 - z_0 \sin \alpha_R + z_0 \sin \alpha_c ; \quad Y_R = y_0$$

$$(23) \quad Z_c = -z_0 ; \quad X_c = x_0 + z_0 \sin \alpha_R + z_0 \sin \alpha_c ; \quad Y_c = y_0$$

Fig. 4



Hologramele pot fi construite și în lumină difuză (dar coerentă) ceea ce produce câteva avantaje importante:

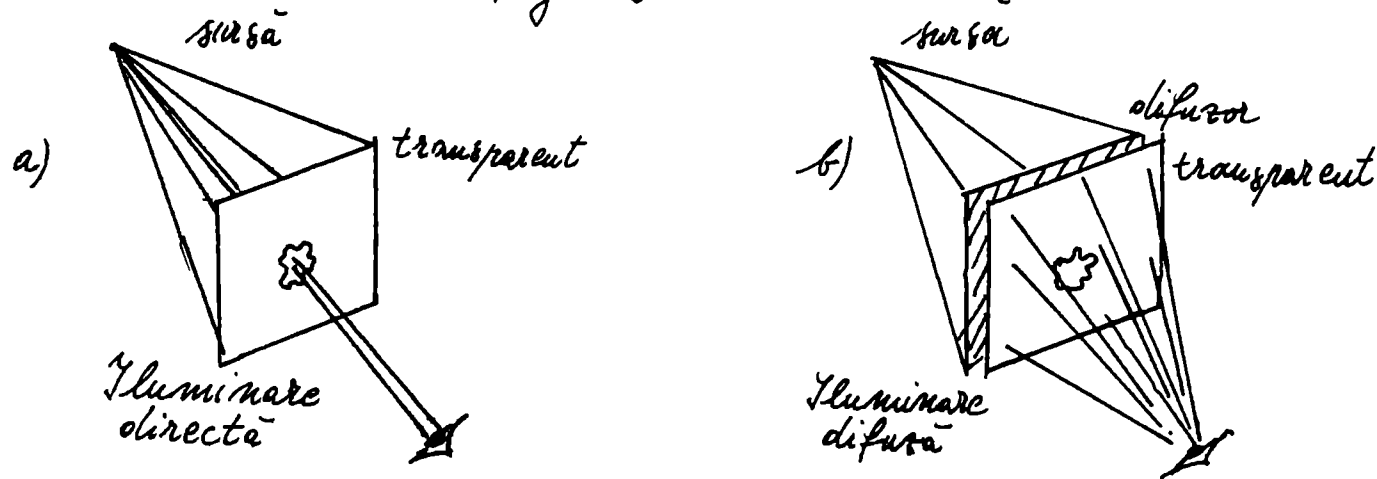
1) Fiecare punct al obiectului radiază o undă sferică, informația ce vine de la el se găsește oriunde pe hologramă de unde o redundanță exceptională.

2) Reconstituția se face fără elemente optice suplimentare.

În iluminare directă există o corespondență bimivocă între obiect și o porțiune a hologramei (~~shadow~~ hologram) astfel că numai o mică parte a hologramei (dată de secțiunea intersectată de conul de raze care intră în ochi) este vizibilă.

În iluminare difuză observatorul vede întregul obiect dintr-o dată, toate razele de lumină din toate punctele hologramei intrând în ochiul său. (fig. 5)

Fig. 5



3) Murdaria sau defecțiunile componentelor optice, ca șineliniaritatea plăcii joacă un rol neînsemnat, deoarece lumina este uniform împărtășită pe toată suprafața plăcii și în filtrajul adaptat de la citire aceste distorsiuni practic dispar.

4) Formarea imaginilor tridimensionale de mare efect deoarece plăca este atinsă de raze de lumină reflectate de obiect dintr-o perspectivă largă.

5) Posibilitatea de codare a imaginilor simplă și de mare eficacitate.

## 2.1.1b. HOLOGRAME FRAMHOFER – FOURIER

Dacă în (5) putem neglija termenii pătratici și superioiri în  $X_0$  și  $Y_0$  vorbim despre holograme Fraunhofer – Fourier, iar (5) devine

$$(24) \quad \lambda \approx z_0 + \frac{x^2 + y^2}{2z_0} - \frac{xx_0}{z_0} - \frac{yy_0}{z_0}$$

deasemeni (1) capătă forma

$$(25) \quad O(x, y) = \frac{-i}{2\lambda z_0} e^{ikz_0} e^{ik \frac{x^2 + y^2}{2z_0}} \int_{-\infty}^{\infty} \int_{-\infty}^{\infty} F(x_0, y_0) e^{-\frac{ik}{z_0}(xx_0 + yy_0)} dx_0 dy_0$$

Distribuția de amplitudini din planul hologramei situată la o distanță mare de obiect este transformată Fourier (pînă la un factor lent variabil cu  $\frac{x^2 + y^2}{2z_0}$ ) a distribuției din planul obiectului.

Dacă obiectul este un punct la  $X_0 = a$  (fig. 6) atunci

$$(26) \quad F(x_0, y_0) = \delta(x_0 - a) \quad \text{și} \quad O(x) \sim e^{-i \frac{k}{f} ax}$$

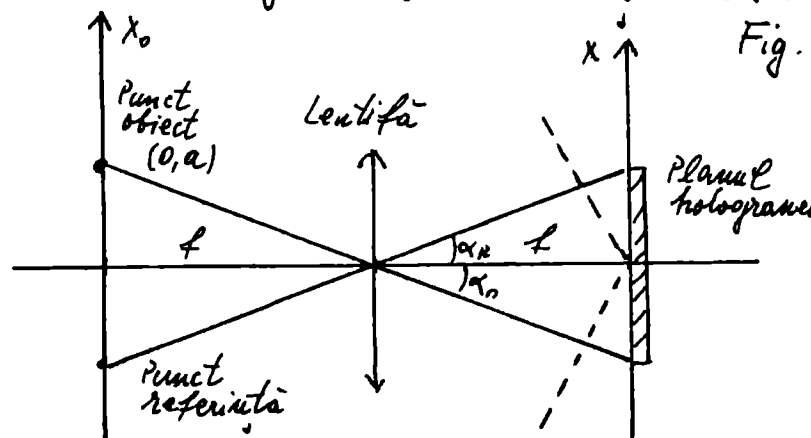
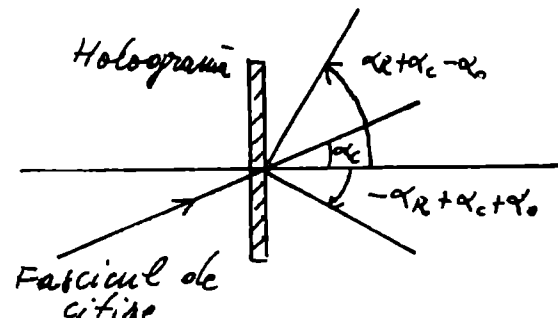


Fig. 6



reprezintă o undă plană ce cade pe placa fotografică sub unghiul  $\alpha_0 = \arcsin \frac{a}{f}$

Pentru referință tot undă plană incidentă la  $\alpha_R$  diferența de fază va fi:

$$(27) \quad \Delta(x) = \varphi_R(x) - \varphi_0(x) = Kx(\sin \alpha_R - \sin \alpha_0)$$

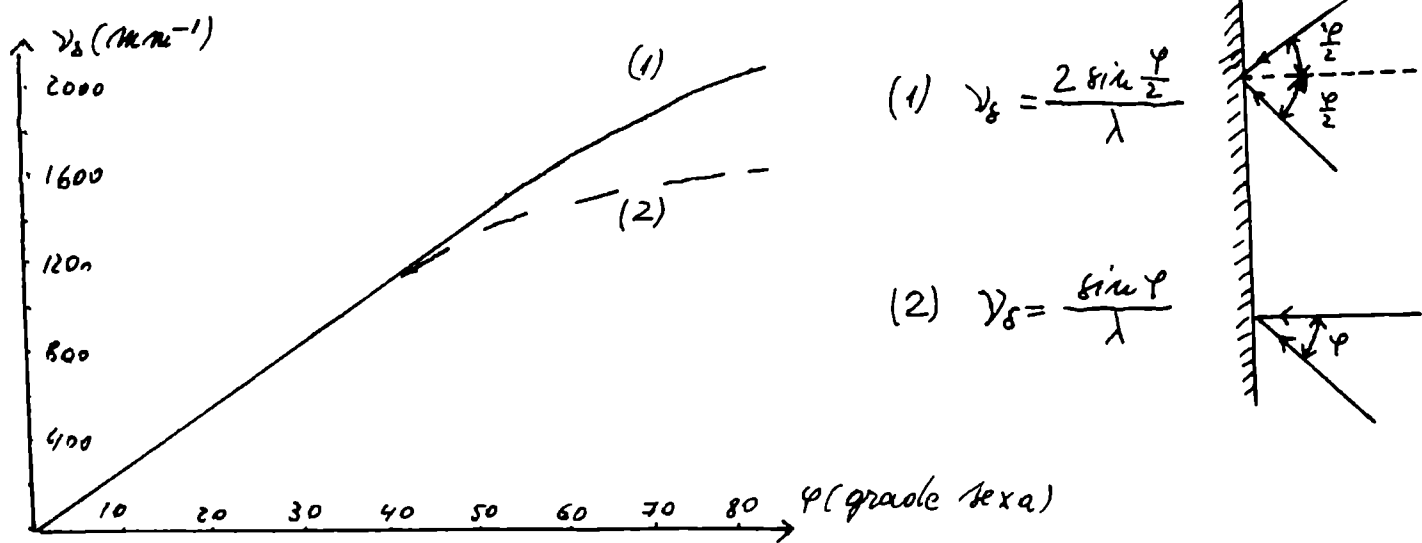
Franje luminoase sunt la  $\Delta = 2m\pi$ ,  $m \in \mathbb{Z}$  de unde

$$(28) \quad x = \frac{m \frac{2\pi}{K}}{\sin \alpha_R - \sin \alpha_0}$$

Deci un obiect punctiform produce un set de franje drepte echidistante la:

$$(29) \quad \Delta x_f = \frac{\lambda}{\sin \alpha_R - \sin \alpha_0} = \frac{1}{v_s}$$

cu:  $v_s \equiv$  frecvență spatială



Pentru mai multe puncte, holograma e formată din mai multe rețele sinusoidale suprapuse coherent

Cimpul total la hologramă, într-o singură dimensiune:

$$(30) \quad H(x) = O_o(x) e^{i\varphi_o(x)} + R_o(x) e^{i\varphi_e(x)} = O_o(x) e^{-ikx \sin \alpha_o} + R_o(x) e^{-ikx \sin \alpha_e}$$

$$(31) \quad t(x) = \beta |H(x)|^2 = \beta (O_o^2 + R_o^2 + 2 O_o R_o e^{-ikx(\sin \alpha_o - \sin \alpha_e)} + O_o R_o e^{-ikx(\sin \alpha_e - \sin \alpha_o)})$$

Dacă iluminăm holograma cu o undă plană

$$(32) \quad C(x) = C_o(x) e^{i\varphi_c(x)} = C_o(x) e^{-ikx \sin \alpha_c}$$

atunci unda transmisă are forma

$$(33) \quad \Psi(x) = \beta \{ C_o O_o^2 e^{-ikx \sin \alpha_c} + C_o R_o^2 e^{-ikx \sin \alpha_c} + \\ + C_o O_o R_o e^{-ikx(\sin \alpha_o - \sin \alpha_R + \sin \alpha_c)} + \\ + C_o O_o R_o e^{-ikx(-\sin \alpha_o + \sin \alpha_R + \sin \alpha_c)} \}$$

Dacă  $\alpha_e = \alpha_c$  al treilea termen al (33) reprezintă unda obiect reconstituită.

Fig 8 și fig. 9 reprezintă montajele practice de realizare a hologramelor Fraunhofer – Fourier.

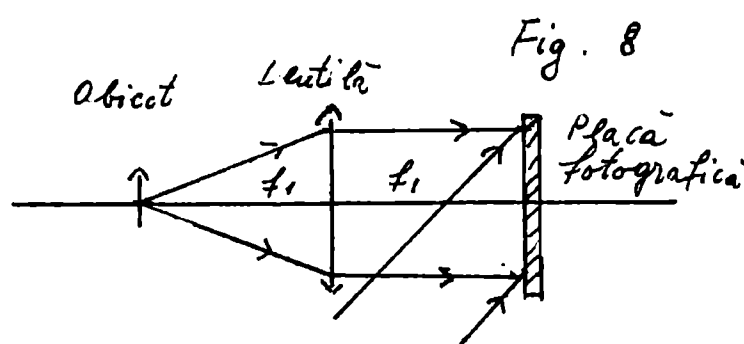


Fig. 8

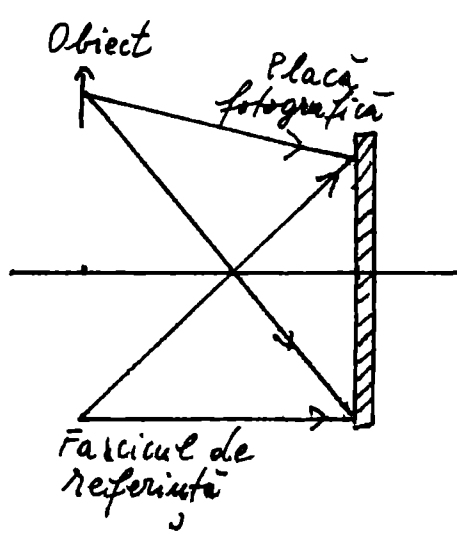
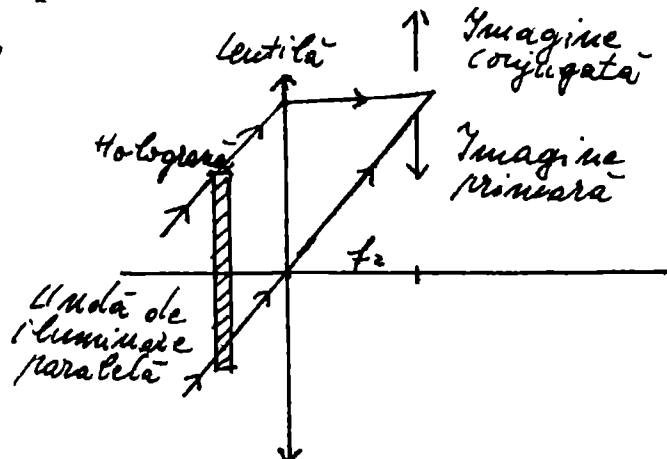
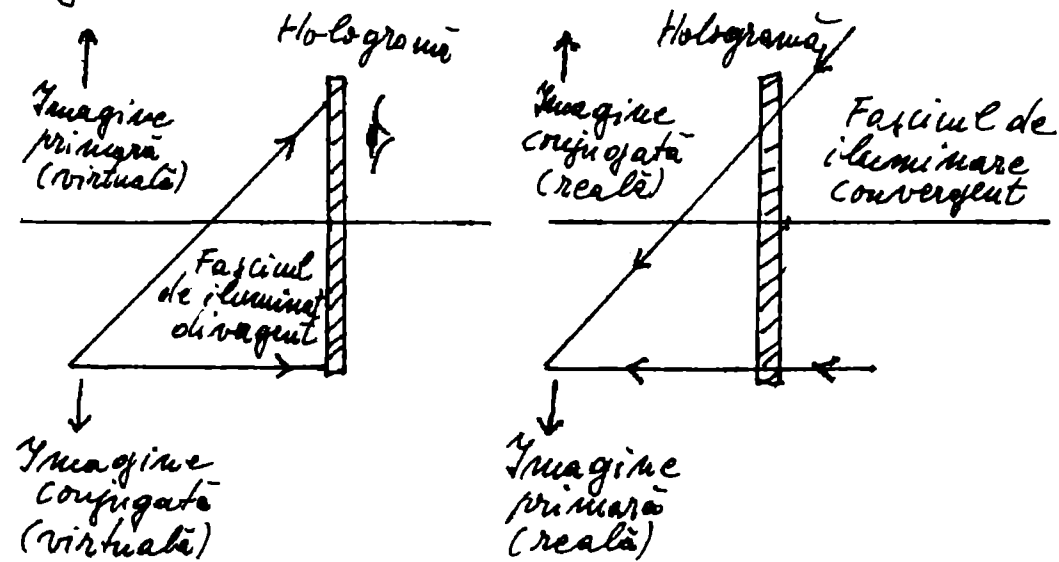


Fig. 9



Pentru montajul sugerat în fig 8 imaginile primară și conjugată se formează în planul focal al lentilei  $f_2$  mărite în raportul  $\frac{f_2}{f_1}$

Pentru montajul sugerat în fig 9 trebuie luat în considerare precauții: obiectul și sursa punctiformă de referință să fie în același plan și distanța între planul obiect și planul plăcii foto să fie suficient de mare în raport cu dimensiunile obiectului.

### 2.1.2 HOLOGRAME IN VOLUM

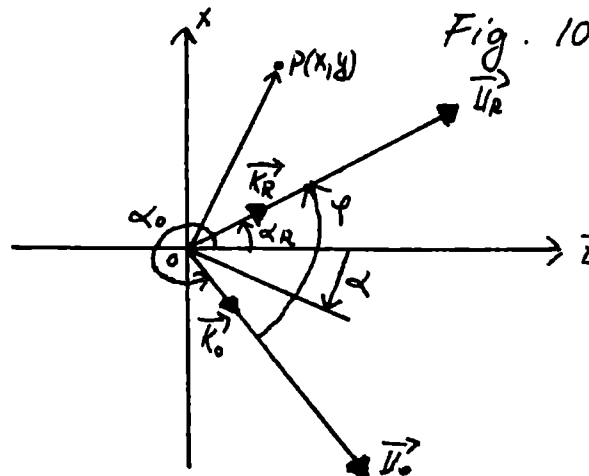
Pentru grosimi ale mediilor de înregistrare de același ordin de mărime sau mai mari decât interfranjele figurii de interferență dintre undele  $O(x,y,z)$  și  $R(x,y,z)$  studiem cazul hologramelor în volum.

$$(34) \quad \Delta \gtrsim d \sim \frac{\lambda}{\sin \varphi} \quad \begin{aligned} \Delta &\equiv \text{interfranga} \\ \lambda &\equiv \text{lunghimea de undă} \\ \varphi &\equiv \text{unguiul între undele } O \text{ și } R \end{aligned}$$

Relația (34) este satisfăcută aproape în toate cazurile practice de lucru cu emulsii fotografice (groase de ordinul a  $20 \mu\text{m}$  în general).

Hologramele în volum conțin franje în grosimea materialului fotosensibil cu direcție și spațiere dependentă de localizarea și separarea unghiulară a punctelor obiect și referință.

Pentru simplitate considerăm interferența a două unde plane (orice undă poate fi descompusă într-o serie de unde plane).



$$\begin{aligned} k' &= \frac{2\pi}{\lambda'} \\ \lambda' &\equiv \text{lunghimea de undă} \\ &\quad \text{în material} \\ \vec{k}_o' &= \vec{k}_o, k' \\ \vec{k}_R' &= \vec{k}_R, k' \end{aligned} \quad (35)$$

Notând cu  $\vec{r}$  vectorul de poziție al unui punct  $P(x, z)$  din mediul de înregistrare, cele două unde vor fi:

$$(36) \quad \begin{aligned} U_o &= \alpha_o e^{i \vec{k}_o' \cdot \vec{r}} = \alpha_o e^{i \varphi_o(x, z)} \\ U_R &= \alpha_R e^{i \vec{k}_R' \cdot \vec{r}} = \alpha_R e^{i \varphi_R(x, z)} \end{aligned}$$

Cu :

$$(37) \quad \begin{aligned} \varphi_o(x, z) &= \vec{k}_o' \cdot \vec{r} = k' z \cos \alpha_o + k' x \sin \alpha_o \\ \varphi_R(x, z) &= \vec{k}_R' \cdot \vec{r} = k' z \cos \alpha_R + k' x \sin \alpha_R \end{aligned}$$

Defagajul între cele două unde este:

$$(38) \Delta(x, z) = \varphi_e(x, z) - \varphi_o(x, z) = k'z(\cos\alpha_R - \cos\alpha_o) + k'x(\sin\alpha_R - \sin\alpha_o)$$

Franjele luminoase se vor forma acolo unde:

$$\Delta(x, z) = 2m\pi, \quad m \in \mathbb{Z}$$

Din (37), (38), generalizînd și pe  $y$ , observăm că franjele luminoase vor fi plane echidistante ale căror urme pe  $x-z$  sunt drepte:

$$(39) \quad x = \left( -\frac{\cos\alpha_R - \cos\alpha_o}{\sin\alpha_R - \sin\alpha_o} \right) z + \frac{m\lambda'}{\sin\alpha_R - \sin\alpha_o}$$

Interfranja în direcția  $x$  este:

$$(40) \quad \Delta x = \frac{\lambda'}{\sin\alpha_R - \sin\alpha_o}$$

și frecvența spațială corespunzătoare

$$(41) \quad v_s = \frac{1}{\Delta x} = \frac{\sin\alpha_R - \sin\alpha_o}{\lambda'} = \frac{2}{\lambda'} \sin \frac{\varphi}{2} \cot \alpha$$

unde am notat:

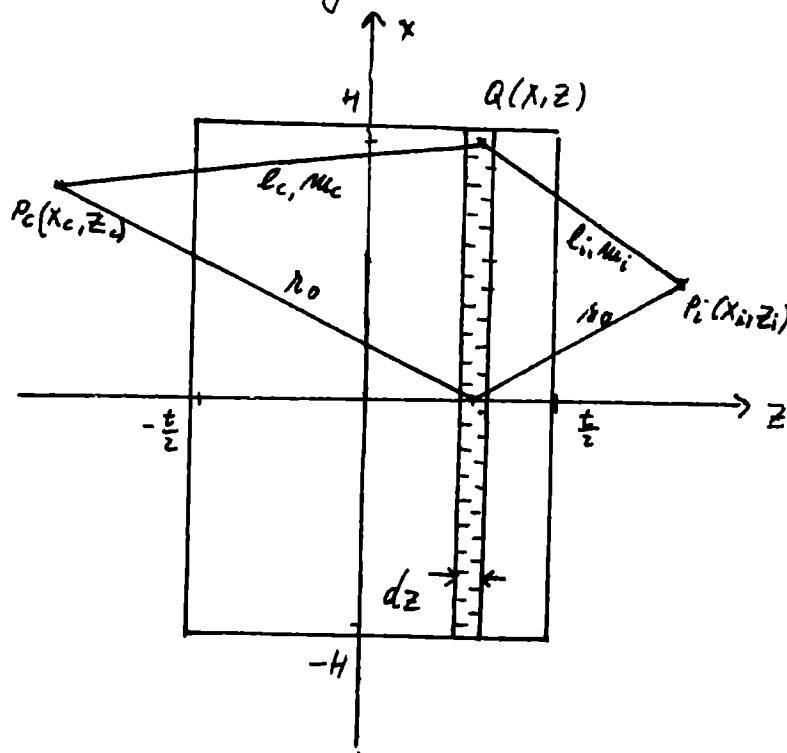
$$(42) \quad \varphi = 2\pi - \alpha_o + \alpha_R \quad \text{și} \quad \alpha = \alpha_R - \frac{\varphi}{2} = \arctg \left( -\frac{\cos\alpha_R - \cos\alpha_o}{\sin\alpha_R - \sin\alpha_o} \right)$$

$\alpha$  este unghiul pe care îl fac franjele cu axa  $z$ .

Reconstrucția în holografia în volum este rezultatul difracției unei de iluminare pe rețeaua tridimensională formată de franjele tridimensionale.

Analiza se face cu ajutorul unei aproximări a integralei Fresnel - Kirchhoff pentru difracție slabă (sumarea contribuțiilor difracțiilor Fraunhofer pe o succesiune de aperturi infinit de subțiri

Fig. 11



Cîmpul produs des sursa de iluminare  $P_c(x_c, z_c)$  în punctul imagine  $P_i(x_i, z_i)$  este (fig. 11)

$$(43) \quad U(l_i, m_i) \sim \int_{-H-\frac{t}{2}}^{H+\frac{t}{2}} G(x, z) e^{-ikx(m_i - m_c)} e^{-ikz(l_i - l_c)} dx dz$$

cu notatiile

$$(44) \quad l_i = \frac{z_i}{\delta_0}; \quad l_c = -\frac{z_c}{\delta_0}; \quad m_i = \frac{x_i}{\delta_0}; \quad m_c = -\frac{x_c}{\delta_0}$$

$G(x, z)$  este functia pupilară, care ține seama de variația spațială a transmitantei în apertură.

In cazul nostru functia pupilară va fi proporțională cu distribuția de intensitate din figura de interferență produsă de undele  $U_0$  și  $U_R$  (36) adică:

$$\begin{aligned} (45) \quad G(x, z) &\sim |H(x, z)|^2 = |U_0 + U_R|^2 = a_o^2 + a_R^2 + 2a_o a_R \cos[\alpha(x, z)] = \\ &= a_o^2 + a_R^2 + 2a_o a_R \cos[w_0(lx - mz)] = E_0 [1 + M \cos w_0(lx - mz)] \\ &= E_0 \left\{ 1 + \frac{M}{2} e^{i w_0(lx - mz)} + \frac{M}{2} e^{-i w_0(lx - mz)} \right\} \end{aligned}$$

cu notatiile (fig. 10) :

$$(46) \quad l = \cos \alpha; \quad m = \sin \alpha; \quad w_0 = 2k' \sin \frac{\varphi}{2}$$

$E_0 = a_o^2 + a_R^2 \equiv$  expunere medie

$M = \frac{2a_o a_R}{a_o^2 + a_R^2} \equiv$  modulatia expunerii

Introducind (45) în (43) vom obține după integrare:

$$\begin{aligned} (47) \quad U(l_i, m_i) &\sim E_0 \left\{ \left[ t \operatorname{sinc} \frac{t}{2}(kl_i - kl_c) \right] \left[ 2H \operatorname{sinc} H(km_i - km_c) \right] \right\} + \\ &+ \frac{ME_0}{2} \left\{ \left[ t \operatorname{sinc} \frac{t}{2}(kl_i - kl_c + w_0 m) \right] \left[ 2H \operatorname{sinc} H(km_i - km_c - w_0 l) \right] \right\} + \\ &+ \frac{ME_0}{2} \left\{ \left[ t \operatorname{sinc} \frac{t}{2}(kl_i - kl_c - w_0 m) \right] \left[ 2H \operatorname{sinc} H(km_i - km_c + w_0 l) \right] \right\} \end{aligned}$$

Condițiile de maxim pentru primele două ordine nu se obțin simultan și ele sunt date de

$$(48) \quad -\frac{l_i - l_c}{m} = \frac{w_0}{k} = \frac{m_i - m_c}{l}$$

$\frac{w_0}{k}$

$$(49) \quad \frac{l_i - l_c}{m} = \frac{w_0}{k} = -\frac{m_i - m_c}{l}$$

**Explicătând**  $\ell_i$  și  $\ell_c$  (48) devine echivalentă cu legea reflexiei și explicând  $m_i$  și  $m_c$  (49) devine echivalentă cu legea rețelei, deci satisfacerea simultană a relațiilor (48) și (49) formează condiția Bragg pentru difracția pe o rețea tridimensională.

Pentru a realiza unde sănătate localizate imaginile la citirea hologramelor în volum reluăm (41) sub forma:

$$(50) \quad m_R - m_o = 2l \sin \frac{\varphi}{2}$$

Analog obținem:

$$(51) \quad l_R - l_o = -2m \sin \frac{\varphi}{2}$$

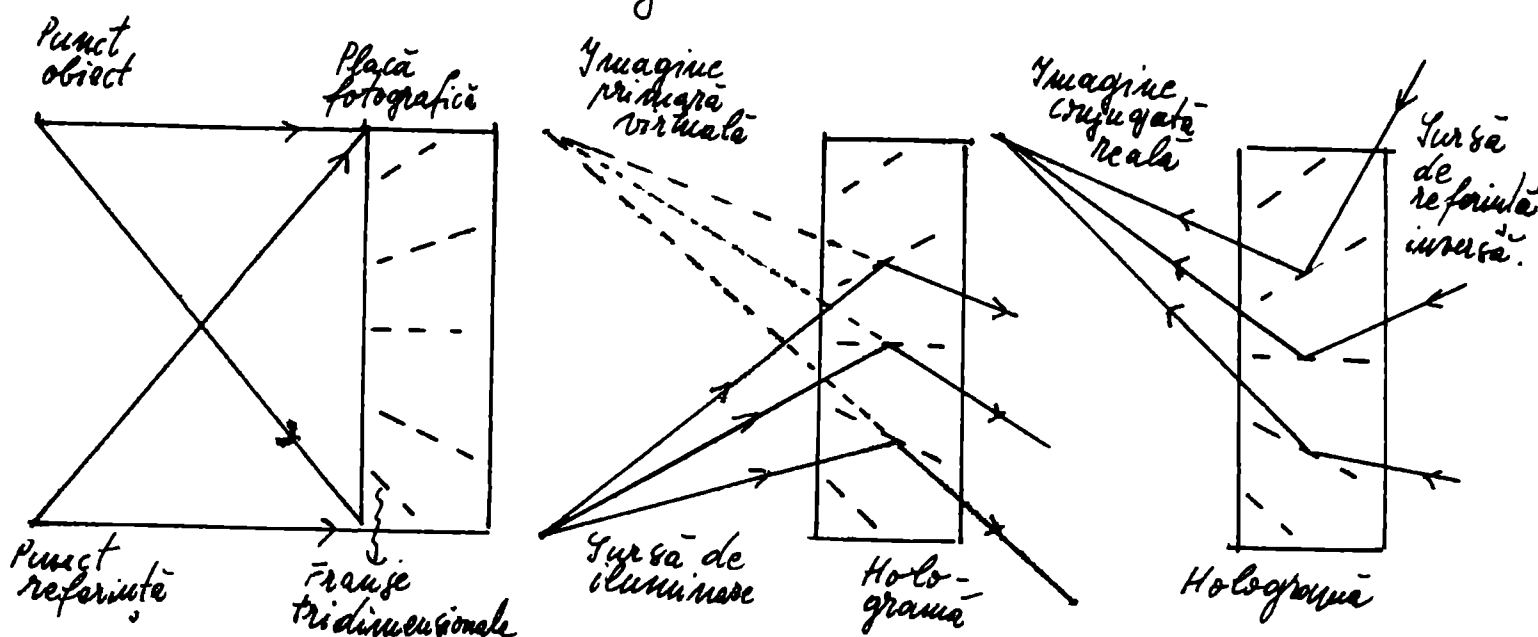
Utilizând (50) și (51) aducem (48) la :

$$(52) \quad \frac{\ell_i - \ell_c}{\ell_R - \ell_o} = \frac{\lambda}{\lambda'} = \frac{m_i - m_c}{m_R - m_o}$$

și prin aceeași metodă (49) devine:

$$(53) \quad \frac{\ell_i - \ell_c}{\ell_R - \ell_o} = -\frac{\lambda}{\lambda'} = \frac{m_i - m_c}{m_R - m_o}$$

Fig. 12



Dacă lungimile de undă la înregistrare și citire sunt egale ( $\lambda = \lambda'$ ) observăm că:

a) (52) + ( $\ell_c = -\ell_R$ )  $\Rightarrow \ell_i = -\ell_o$ , imagine conjugată (fig. 12c)

b) (53) + ( $\ell_c = \ell_R$ )  $\Rightarrow \ell_i = \ell_o$ , imagine primară (fig. 12b)

Generalizând la un front de undă oarecare observăm că termenul al doilea din (47) corespunde unei imagini conjugate (reale) pentru o iluminare la citire inversă față de iluminarea la referință iar termenul al treilea din (47) corespunde unei imagini primare (virtuale) situată în locul obiectului original, pentru o iluminare la citire identică cu iluminarea referinței.

O caracteristică importantă a hologramelor este eficiență la difracție ca raportul între intensitatea difractată care contribuie la reconstituirea frontului de undă original și intensitatea fasciculului de citire incident pe hologramă:

$$(54) \quad \eta = \frac{|I|^2}{|C|^2}$$

Cu: I amplitudinea undei difracte și C amplitudinea undei de citire incidente.

In tabelul următor sînt date teoretice și experimentale despre diverse tipuri de holograme, inclusiv despre cele tratate anterior, privind eficiență la difracție:

Material fotosensibil	Subtire (bidimensional)		Gros (tridimensional)			
Lumina difractată apără min:	Transmisie sau reflexie		Transmisie		Reflexie	
Reteaua formată prin variația:	Transmisie	Faze	Constantă de absorbție	Hudicele de refracție	Constantă de absorbție	Hudicele de refracție
Eficiență teoretică maximă (%)	6,25	33,9	3,7	100	7,2	100
Eficiență observată experimental (%)	5	27	3,0	60	3,8	100

De remarcat că eficiențele maxime date mai sus se obțin acceptînd distorsioni neliniare mari în imaginile reconstituite holografic.

Pentru domeniul liniar de reconstituire eficiențele posibile sînt în general limitate la jumătate din valoarea eficiențelor maxime.

## 2.2. INTERFEROMETRIA HOLOGRAFICA

După cum am menționat în capitolul 1, interferometria optică metodă de măsură de la foarte precisă, a fost fundamental imbunătățită de apariția surselor de lumină coherență desvoltându-se din ea interferometria holografică cu avantajele esențiale enumerate.

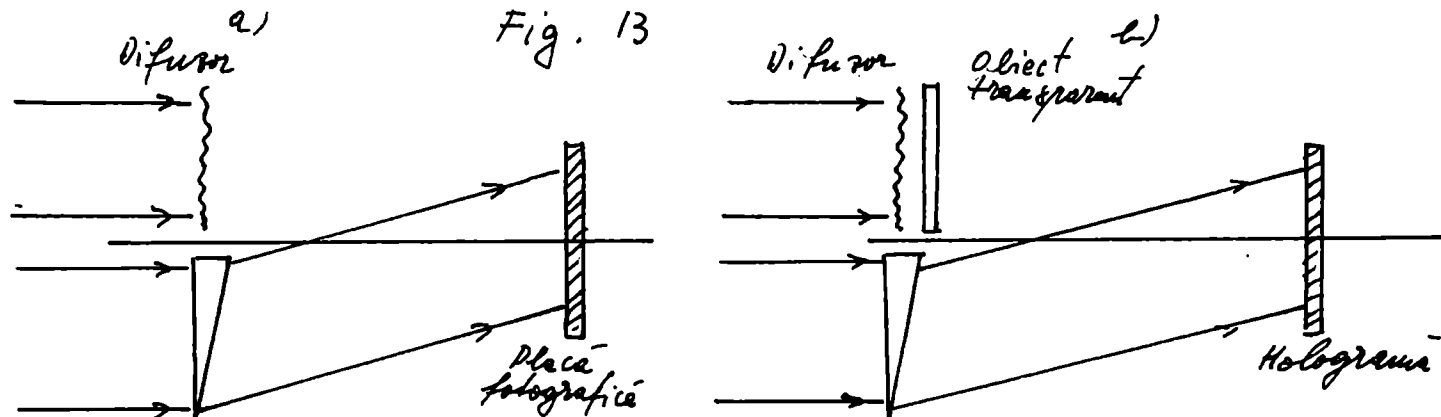
Există mai multe metode de obținere a interferogramelor holografice, teoriile propuse pentru localizarea și interpretarea franjelor nesatisfăcînd decît unele cazuri particulare impunînd din păcate prezentarea explicațiilor simple, calitative.

### 2.2.1. INTERFEROMETRIA HOLOGRAFICA IN TIMP REAL

Această metodă constă în înregistrarea hologramei unui obiect considerat etalon. După developare, holograma etalonului se repoziționează foare exact, astfel încît imaginea obținută la reconstrucție să se suprapună exact peste unda obiect(iluminat și el de laser), care evoluiază acum în timp într-un mod oarecare sau tinzînd spre identitate cu etalonul. Suprapunerea celor două unde va produce un cîmp de interferență macroscopică, care va evoluă odată cu deformațiile undei obiect față de imaginea etalon și care va indica în timp real mărimea și localizarea acestor deformații.

Presupunem că formăm holograma obiectului etalon  $O(X)$  cu unda de intensitate:

$$(55) |H(x)|^2 = O_o(x) + R_o(x) + O_o(x)R_o(x) \left[ e^{i(\varphi(x) - kx \sin \tau_R)} + e^{-i(\varphi(x) - kx \sin \tau_R)} \right]$$



După developare, iluminînd această hologramă cu undă (fig. 13)

$$(56) C(x) = O'(x) + R(x)$$

Cu  $O'(x)$  frontul de undă puțin <sup>de</sup> format,

$$(57) O'(x) = O_o(x) e^{i\varphi'_o(x)}$$

Unda transmisă de hologramă va fi

$$(58) \Psi(x) = C(x) |H(x)|^2 = O_o(x) e^{i\varphi_o(x)} \{ [O_o^2 + R_o^2] e^{i\alpha\varphi} + R_o^2 \} + \text{alți termeni} = \Psi_1(x) + \text{alți termeni}.$$

Intensitatea pe care o vede ochiul va fi:

$$(59) |\Psi_i(x)|^2 = O_0^2 \{ [O_0^2 + R_0^2]^2 + R_0^4 + 2R_0^2 [O_0^2 + R_0^2] \cos(\varphi'_0 - \varphi_0)\}$$

și se sesizează într-o serie de fraje suprapuse peste obiectul nedeformat.

Franjele vor fi localizate pentru a satisface relația

$$(60) \varphi'_0(x) - \varphi(x) = \text{constant}$$

Fig. 13 ilustrează metoda printr-un experiment de determinare a neomogenităților optice, marginile și variațiilor de grosime ale unei lame de sticlă.

Alte aplicații ale interforometriei holografice în timp real vizează microdeplasările, regimurile termice ale dispozitivelor electronice, diagnostica plasmei, etc.

### 2.2.2. INTERFEROMETRIA HOLOGRAFICA MEDIATĂ ÎN TIMP

Metodă de înregistrare a evoluției unui front de undă chiar în timpul acestei evoluții.

Inregistrarea holografică fiind în principiu un experiment de interferență a două unde, o variație cu  $\pi$  în diferența de fază a celor două unde va deplasa poziția franelor în planul de înregistrare cu jumătate de interfranță, având ca efect o stergere a franelor în zona respectivă, dacă variația are loc în timpul expunerii.

Pentru a trata problema mișcării obiectului în timpul expunerii, vom scrie expunerea în punctul  $x$  al plăcii foto ca

$$(61) E(x) = \int_{-\frac{T}{2}}^{\frac{T}{2}} |H(x,t)|^2 dt$$

cu  $|H|^2$  intensitatea totală în planul hologramei și  $T$  timpul de expunere.

Cum

$$(62) H(x,t) = R(x) + O(x,t)$$

(61) devine:

$$(63) E(x) = E_R + E_O + R(x) \int_{-\frac{T}{2}}^{\frac{T}{2}} O^*(x,t) dt + R^*(x) \int_{-\frac{T}{2}}^{\frac{T}{2}} O(x,t) dt$$

al plăcii foto ca

$$(61) \quad E(x) = \int_{-\frac{T}{2}}^{\frac{T}{2}} |H(x,t)|^2 dt$$

cu  $|H|^2$  intensitatea totală în planul hologramei și T timpul de expunere.

Cum

$$(62) \quad H(x,t) = R(x) + O(x,t)$$

(61) devine:

$$(63) \quad E(x) = E_r + E_o + R(x) \int_{-\frac{T}{2}}^{\frac{T}{2}} O^*(x,t) dt + R^*(x) \int_{-\frac{T}{2}}^{\frac{T}{2}} O(x,t) dt$$

Ultimul termen din (63) produce imaginea primară  $E_p$

$$(64) \quad E_p = R^*(x) \int_{-\frac{T}{2}}^{\frac{T}{2}} O(x,t) dt = R^*(x) \int_{-\infty}^{\infty} \text{rect}\left(\frac{t}{T}\right) O(x,t) dt$$

Considerind perechile de transformate Fourier temporale

$$(65) \quad \text{rect}\left(\frac{t}{T}\right) = \begin{cases} 1 & \text{pt. } t \in [-\frac{T}{2}, \frac{T}{2}] \\ 0 & \text{pt. } t \notin [-\frac{T}{2}, \frac{T}{2}] \end{cases} \xleftrightarrow{\mathcal{F}} T \text{sinc}(\pi T f)$$

și

$$(66) \quad O(x,t) \xleftrightarrow{\mathcal{F}} \tilde{O}(x,f)$$

și utilizând teorema Parceval vom scrie (64) ca:

$$(67) \quad E_p = T R^*(x) \int_{-\infty}^{\infty} \text{sinc}(\pi f T) \tilde{O}(x,f) df$$

(67) poate fi interpretată astfel: efectul mișcării obiectului în înregistrarea holografică este echivalent cu un filtraj temporal liniar al imaginii având funcția de transfer sinc ( $\pi T f$ )

Considerind transmitanța în amplitudine a hologramei liniară cu expunerea și unda de citire identică cu referința, cimpul luminos

.//.

în primul ordin va avea distribuția :

$$(68) \quad \Psi_1(x) \sim |E(x)|^2 \int_{-\infty}^{\infty} \sin(\pi f T) \tilde{O}(x, f) df$$

și observatorul va vedea

$$(69) \quad I_1(x) = |\Psi_1(x)|^2$$

Pentru cazul vibrațiilor sinusoidale

$$(70) \quad I_1 \sim \left| J_0 \left[ \frac{2\pi}{\lambda} n l (\cos \theta_1 + \cos \theta_2) \right] \right|^2$$

cu  $n$  amplitudinea vibrației unui punct oarecare al obiectului,  $\theta_1$  unghiul între direcția mișării punctului și direcția de observare,  $\theta_2$  unghiul între direcția mișării și direcția de iluminare a obiectului.

În imaginea primară va apărea un sistem de franje ce va caracteriza regiunile de egală amplitudine.

Dacă în imagine este prezentă o regiune nodală (interferență staționară) amplitudinea de vibrație într-un punct al suprafeței obiectului se poate deduce pe baza unei relații aproximative deduse din (70)

$$(71) \quad d_n \approx \frac{n \lambda}{4(\cos \theta_1 + \cos \theta_2)}$$

unde  $n$  este numărul de ordine al maximului sau minimului de intensitate în figură pornind de la cea mai apreciată linie nodală,  $d_n$  este amplitudinea de vibrație pe franjă corespunzătoare.

În continuare, dintre numeroasele alte metode de interferometrie optică folosite vom prezenta doar una, folosită în cadrul lucrării de față.

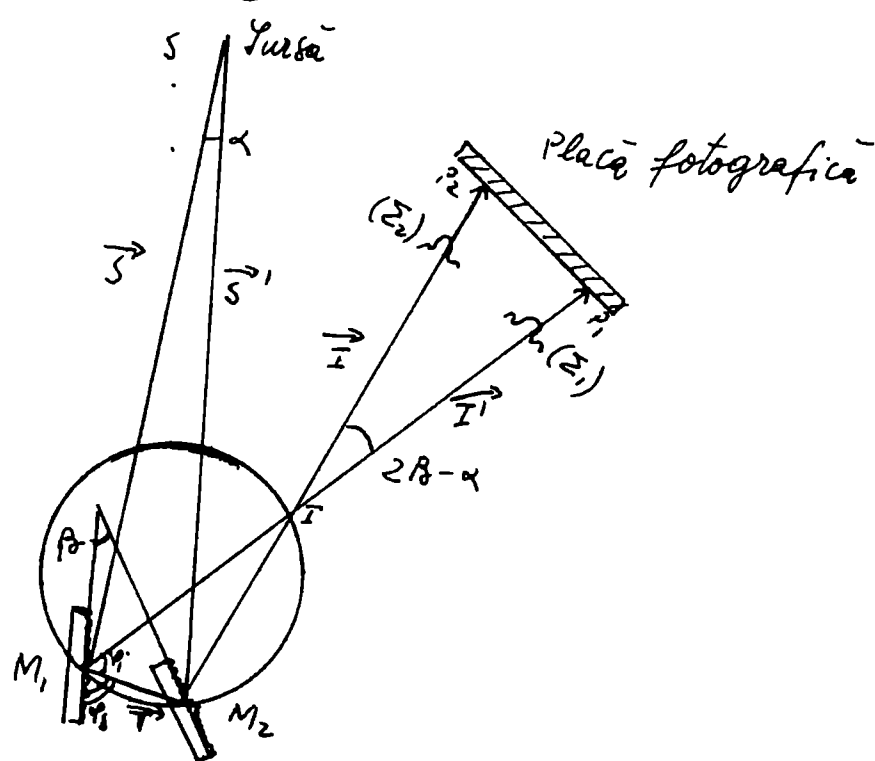
### 2.2.3. Interferometria holografică cu dublă expunere

Acest tip de interferometrie holografică este o înregistrare permanentă a variațiilor unui obiect între două expuneri pe aceeași placă fotografică, este deci necesară înregistrarea a două holograme pe aceeași placă fotografică.

La reconstrucție una din aceste holograme produce o imagine primară, constituind unda de comparație, iar cea de-a doua hologramă suprapune peste ea o imagine a obiectului deformat. Între cele două fronturi de undă apare un fenomen de interferență macroscopică ce pună în evidență diferențele de drum optic apărute între expuneri.

Obținerea relațiilor generale între perturbația suferită de obiect și mărimile caracteristice cîmpului de macrofanje este prezentată după Viénot în continuare.

Fig.14



Dacă în fig.14 considerăm că fronturile de undă ( $\Sigma_2$ ) și ( $\Sigma_1$ ) provin de la un obiect a cărui mișcare între cele două expuneri este caracterizată de o translație  $\vec{T} = \overrightarrow{M_1 M_2}$  și o rotație de unghi  $\beta$ , atunci cu ipotezele:

a) frontul de undă coherent incident pe o suprafață, după difuzie și difracție pe suprafață, se transformă într-un nou front de undă în relație bijectivă cu suprafața, purtînd deci structura fină a acesteia.

b) Interferența celor două fronturi de undă în IHDE la reconstrucție, ce produce sistemul de macrofanje, este dată de raze omologe, (fig.14  $M_1P_1$  și  $M_2P_2$ ) și este observabilă acolo unde structurile lor fine se confundă.

Avem:

$$(72) \quad \vec{T} = \vec{I} - \vec{I}' = \vec{s} - \vec{s}'$$

Notând  $s = |\vec{s}|$ ,  $s' = |\vec{s}'|$ ,  $i = |\vec{I}|$ ,  $i' = |\vec{I}'|$ , diferența de drum va fi:

$$(73) \quad \Delta = s + i - (s' + i')$$

In cazul simplu al unei rotații pure de unghi  $\beta$ , razele omologe se vor intersecta pe suprafața de studiu, franjile fiind localizate pe ea.

Din considerente geometrice :

$$(74) \quad \phi = \frac{\lambda}{d(\cos \varphi_i - \cos \varphi_s)}$$

unde  $d$  este interfranja.

La mișcarea complexă de rotație și translație apar franje localizate la distanța  $i$  de frontul de undă reconstituit. Aplicînd legea sinusurilor în fig.14 obținem:

$$(75) \quad i = \frac{t \sin \varphi_i}{2\beta - \alpha}$$

$$(76) \quad \alpha = \frac{t \sin \varphi_s}{s}$$

și cum  $d = \frac{\lambda}{2 \sin \frac{2\beta - \alpha}{2}}$  vom avea din (75)

$$(77) \quad d \approx \frac{\lambda i}{t \sin \varphi_i}$$

Relațiile (75), (76) și (77) formează un sistem de trei ecuații cu necunoscutele  $t$ ,  $\beta$  și  $\alpha$ , rezolvabil dacă se cunosc experimental  $\varphi_i$ ,  $\varphi_s$ , și  $d$  sau echivalent cunoașterea lui  $\vec{T}$  a priori, ceea ce nu prea este convenabil, în practică  $\vec{T}$  fiind rezultatul

•/•

ce interesează. Deși există un mare număr de studii pentru localizarea și interpretarea franjelor în IHDE pînă în prezent nu s-a ajuns la o teorie suficient de generală, compatibilă cu toate rezultatele experimentale și capabilă să le verifice integral.

Din cele expuse mai sus reținem ca foarte important sistemul de franje produs de o rotație pură (74), franje paralele echidistante.

### 2.3. Interferometria holografică aplicată în controlul nedistructiv.

Dezvoltarea interferometriei holografice de aproximativ 10 ani a dotat controlul nedistructiv cu o nouă tehnică de mare importanță.

Cu această tehnică se pot soluționa numeroase probleme de inspecție și măsurare a materialelor și pieselor industriale:

- detectarea defectelor de continuitate (fisuri, pori) și a anizotropiei materialelor (recristalizări, incluziuni)
- inspecția diferențelor materiale prelucrate (lamine, structuri sudate sau intuite, palete de turbine, cilindri, cauciucuri, etc.).

Un număr mare de lucrări au fost dedicate în literatura de specialitate metodelor de testare holografice pentru diferite probleme practice și pentru corelarea structurii franjelor de interferență cu deplasările sau deformările specimului investigat.

#### 2.3.1. Metode generale pentru punerea în evidență a defectelor în controlul nedistructiv holografic.

Metodele de analiză holografică ne permit să determinăm deformări ale suprafeței în domeniul aproximativ de  $3 \cdot 10^{-8} \text{ m}$  -  $3 \cdot 10^{-4} \text{ m}$ .

•//•

Pentru a efectua testarea unei piese în vederea punerii în evidență a unor defecte ale acesteia sau măsurării unor parametri mecanici, este necesară găsirea unor solicitări adecvate. Acestea vor produce deformări ale obiectului, respectiv ale suprafeței acestuia. Holografic vom măsura mărimea deformării fiecărui punct al suprafeței și modificări locale tipice anumitor defecte.

Solicitările trebuie alese în funcție de structura piesei, de mărimea ce trebuie măsurată, de accesibilitatea piesei (în cazul în care face parte dintr-un sistem complex) și le putem împărți în patru categorii:

1. Solicitări mecanice statice. Aplicarea unor forțe mecanice statice (sau cupluri de răsucire, încovoiere) adecvate ca direcție și intensitate ne ajută în special la calcularea mărimilor corespunzătoare (modul de elasticitate, moment de încovoiere, etc.) din mărimea deformării fiecărui punct al suprafeței.

Determinarea defectelor existente (mărime minimă și adâncime maximă) depinde în special de coeficientul de elasticitate al materialului și necesită în general un control riguros al franjelor (eliminarea franjelor datorate deformării globale este partea experimentală a lucrării de față).

2. Solicitări de presiune. Metoda este însă restrinsă la piesele a căror construcție o permite. Pentru structuri laminate se pot determina defecte cu dimensiuni de peste 10 mm și la adâncimi pînă la 1,2 mm.

3. Solicitări termice. În funcție de condițiile tehnologice se poate inspecta piesa în timpul răcirii sau prin aplicarea unui gradient-termic pentru încălzire. Deformarea suprafeței este datorată variației coeficientului de dilatare termică și în special conductibilității termice, ce conduce la variația temperaturii în piesă și ca atare la deformări.

Acete variații pot fi datorate și unor defecte (de exemplu fisuri).

Pentru structuri laminate este suficient un gradient termic de cîteva grade și se pot determina defecte cu dimensiuni peste 10 mm și la adîncimi pînă la 6 mm.

4. Solicitări mecanice dinamice, Piesa este supusă unei solicitări sonore sau ultrasonice ca frecvență și intensitate adecvate scopului și se măsoară amplitudinea de vibrație, a suprafeței corpului. Se pot face măsurători de material (de exemplu măsurarea grosimii plăcilor) sau punerea în evidență a unor defecte (exfolieri, crăpături). Pentru laminate, folosind frecvențe de 5-75 KHz, se pot pune în evidență defecte cu dimensiuni peste 6 mm și la adîncimi pînă la 1,2 mm.

Structurile ce pot fi analizate prin interferometrie holografică nu impun nici o restricție principală. Fiecare reper necesită însă o analiză separată pentru determinarea solicitării adecvate și a metodei holografice optime. De asemenea această analiză urmărește stabilirea metodologiei de lucru pentru o interpretare cît mai ușoară a rezultatelor.

In această direcție este practic imposibil de dat rețete generale. Pe de altă parte, este dificil de stabilit exact domeniul de aplicare pentru care metodele holografice sunt efectiv preferabile celorlalte.

#### 2.3.2. Interpretarea franelor în interferometria holografică problemă centrală a controlului nedistructiv.

Interpretarea datelor în interferometria holografică în termenii continuității de material comportă rezolvarea a două probleme inverse (tip, cunoscînd efectul, să se determine cauza).

- a) cunoscînd structura franelor de interferență să se determine deformarea suprafeței;
- b) cunoscînd deformarea suprafeței, să se determine continuitatea de material sau alți parametri ai piesei controlate.

Problema (b) intră în domeniul teoriei elasticității și ea necesită o analiză laborioasă, chiar pentru cazurile simple. Deși o considerăm foarte importantă o vom ocoli, luând în considerație numai informația semicantitativă dată de deformarea unui sistem de franje etalon. Aceasta ne va permite să accentuăm asupra problemei (a), specifică holografiei și să sintetizăm principalele rezultate obținute în acest domeniu.

Din anul 1965, cînd a apărut interferometria holografică, și pînă acum au apărut sute de lucrări referitoare la interpretarea franjelor. Mulți autori tind să elaboreze propriile lor metode de interpretare pentru diferite probleme particulare, care prin diversitate stîrnesc confuzie. Echivalența sau contradicțiile acestor metode sunt greu de demonstrat.

În pofida acestor dificultăți, putem clasifica majoritatea metodelor de interpretare a franjelor în patru categorii principale:

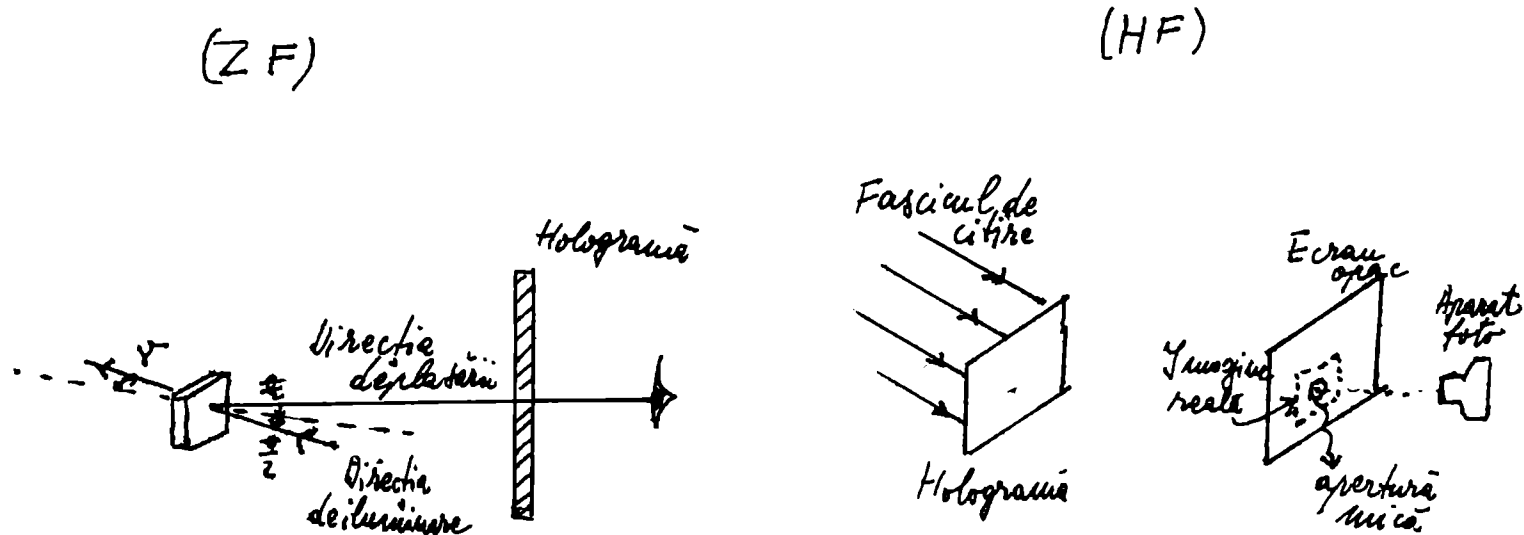
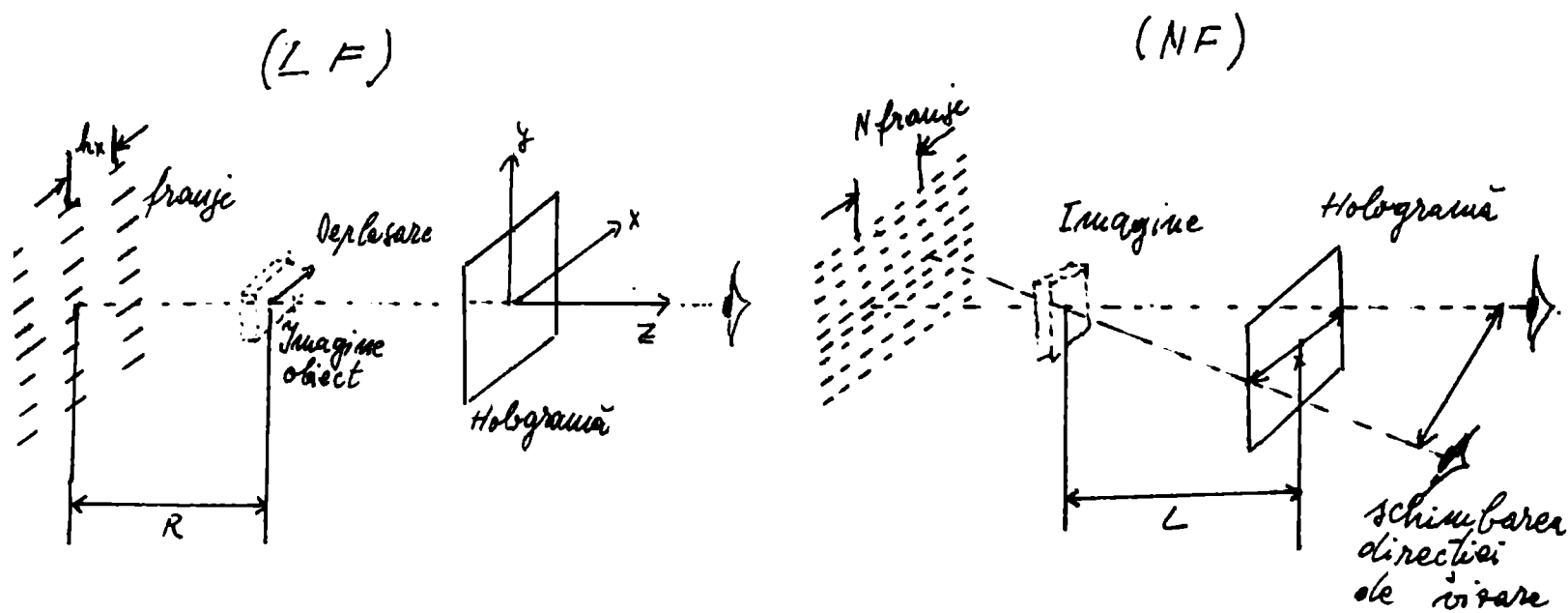
- (1) Tehnica localizării franjelor (LF)
- (2) Tehnica numărării franjelor (NF)
- (3) Tehnica găsirii franjei de ordin zero (ZF)
- (4) Tehnica analizei franjelor Haidinger (HF)

Primele două tehnici sunt echivalente, datorită faptului că localizarea franjelor bazată pe vizibilitatea lor maximă (LF) este echivalentă cu localizarea franjelor prin paralaxă (NF). În acest moment trebuie să remarcăm că holografia este o tehnică de înregistrare a unei imagini tridimensionale pe o placă foto bidimensională; în general, franjele unei interferograme holografice trebuie să reprezinte atunci miscarea tridimensională a obiectului între două stări înregistrate.

Dacă aceste franje sunt văzute dintr-o singură poziție, ele se prezintă observatorului ca o configurație bidimensională, ceea

ce produce o ambiguitate în interpretare.

S-a observat, încă de la începuturile interferometriei holografice, că franjele de interferență sunt tridimensionale și, în consecință, nu sunt localizate obligatoriu pe suprafața obiectului investigat. Planul de localizare al franjelor în raport cu imaginea este folosit în tehniciile LF și NF pentru interpretarea interferogramelor holografice. Datorită acestui fapt, vom sintetiza în tabela următoare proprietățile de localizare și forma franjelor produse de diferite tipuri mecanice uzuale, așa cum au rezultat din diverse experimente.



Typele mișcării în plan	Locația reacției	Descrierea proiecților
Translația în plan (mișcare pe linia de mișcare)	Divergență coliniară	Proiecție paralele echidistante, precum și direct proporționale cu distanța.
Rotatia longitudinală (pe linia de mișcare)	Divergență coliniară	Proiecte definite la infinit
Rotatia (rotatia în suflare cu un acționator planuri obiectelor)	Oricare	Concuru concentric.
Rotatie în plan	Oricare	a) Pe imagine. b) Pe un anginăt, inclinat. c) Pe o dreapta în plan. d) Numai într-un plan rotativ.
Deformatie în plan (înținderere)	Oricare	a) Pe imagine b) Pe un anginăt, inclinat
Deformatie pe linie de mișcare	Oricare	Neregulată, precum și proporțională la distanța și proiecte de geometria corpului.

In afara tipurilor de mișcare simplă descrise în tabelă au fost analizate și combinații ale acestora: mișcări de pivotare (rotație în jurul unei axe perpendicular pe axa de vizare dar nu în planul obiectului), de îngurubare (translație de-a lungul axei de rotație) etc.

Astfel de mișcări combinate dă naștere la sisteme de franje complexe, dificil de localizat și interpretat.

Acest lucru este valabil în special în cazul deformațiilor complexe, de tipul celor care apar în problemele de analiza tensiunilor. Totuși, printr-o analiză adecvată, atent aleasă, este posibilă interpretarea celor mai complexe distribuții de franje și în continuare, vom încerca să sistematizăm caracteristicile celor patru tehnici de interpretare, arătate anterior, și să stabilim criteriile de opțiune pentru una dintre ele în funcție de particularitățile experimentale.

Alegerea unei tehnici de interpretare depinde de mai mulți factori: precizia cerută, timpul disponibil pentru analiză, natura și caracteristice obiectului, puterea laserului, tipul de deplasare sau deformație măsurat, cunoasterea deplasării, posibilitățile de calcul existente, etc.

Caracteristicile principalelor tehnici de interpretare a franjelor sunt date în tabelul următor.

Tehnici Caracteristice	L F	N F	Z F	HF
Locatizarea frunctor	Locatizarea frunctor	Paralaxa frunctor	Locatizarea frunctor	Locatizarea frunctor
Parametru de masurat	Componente in planul obiectului	Componente in planul obiectului	Componente in directie de vizire	Componente in directie de vizire
Formular de bază	$d_x = \frac{\lambda R}{n_x}$ (fig.)	$d_x = \frac{N\lambda L}{x}$ (fig.)	$\Delta = \frac{n\lambda}{2}$ $d_{\frac{x}{2}} = \frac{n\lambda R}{2 \cos \frac{\pi}{2}}$ $d_z = \frac{n\lambda}{2}$ (fig.)	$d_x = \frac{\lambda L}{n_x}$ $d_z = \frac{2 n \lambda L^2}{z n_x} = \frac{2 \lambda L d}{n_x D^2}$ (fig.)
Numerul observatorilor re- cerare punctelor imaginate	1	1	1	1 punct la imagine
Numerul hologramelor ne- cerere pentru miscarea 3D	1 (in principiu)	1 (in principiu)	3	1
Numerul observatorilor	2 (in principiu)	2 linii in planul hologramei (in principiu)	3	1
Dificultati Practice	- Locatizarea - Combinatia de miscare	- Dimensiunile liniilor a hologramei	- Identificarea plan- sei de ordin zero - Analiza in general	- Intensitatea misc. - Combinare de tipuri - Dimensiunile limitate a hologramei
Precizia	Faza de limitata	Linii laterale	Buna	Faza de limitata

## CAPITOLUL 3

### 3.1. Folosirea metodei Moiré pentru eliminarea franjelor parazite în interferometria holografică.

Problema de bază a lucrării de față este eliminarea franjelor parazite ce apar în interferometria holografică.

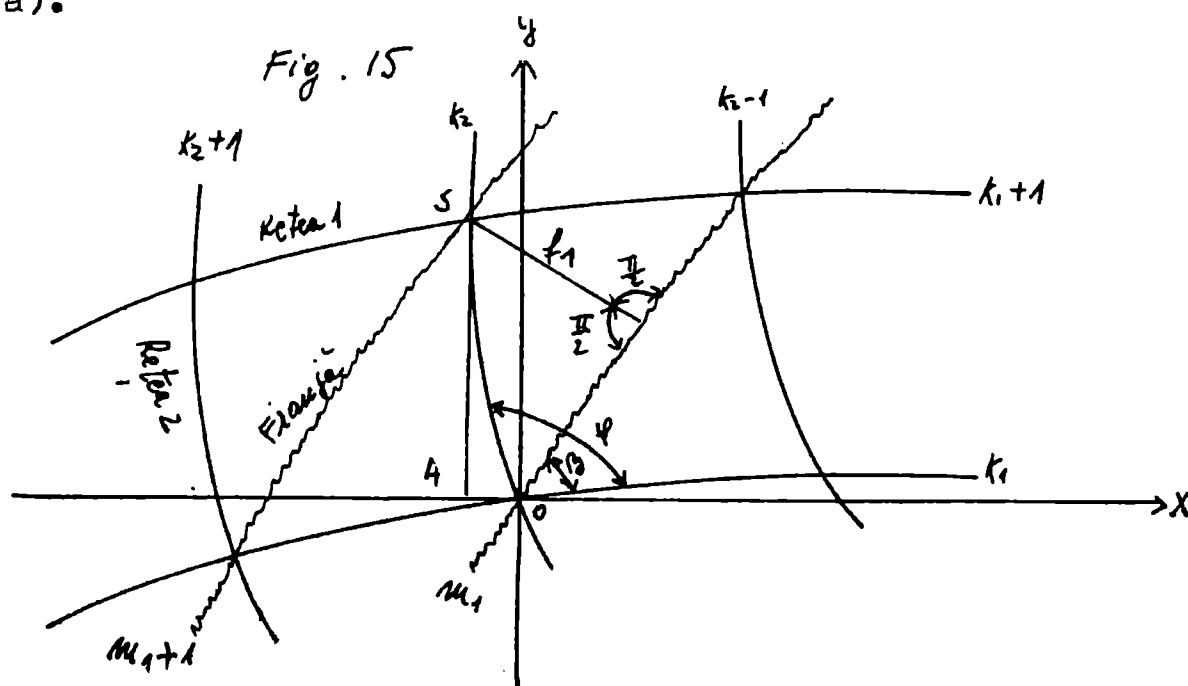
Soluția propusă constă în eliminarea lor după ce interferograma a fost obținută prin procedeele obisnuite prin o metodă de Moiré.

Considerind procesul perturbativ drept o purtătoare de frecvență spațială determinată (ipoteză valabilă întrucât majoritatea perturbațiilor uzuale se manifestă ca rețele de franje drepte paralele având una sau mai multe frecvențe date) modulată de informația utilă vom folosi metoda Moiré pentru demodularea spațială.

Tehnicile tradiționale de modulare (demodulare) a frecvențelor spațiale folosesc atât interferența optică cât și interferența geometrică (mechanică) a două rețele de frecvențe diferite, în special în cazul a două frecvențe apropiate (bătăi spațiale).

#### 3.1.1. Fenomenul Moiré

Fenomenul Moiré constă în apariția unor franje de interferență fie din suprapunerea a două rețele de linii și puncte (interferență geometrică) fie din interferența unor unde luminoase (interferență optică).



O metodă comodă de tratare teoretică a fenomenului este propusă de Durelli și analizează franjele ca pe curbe parametrice (fig.15).

Astfel fie prima rețea purtătoare  $F_1$  și a doua rețea modula-toare  $F_2$ :

$$(78) \quad F_1(x, y) = k_1, \quad F_2(x, y) = k_2$$

La privire ochiul va urmări și intersecțiile curbelor pe direcțiile diagonalelor paralelogramelor, curbilinii formate, sesizind încă două familii de curbe (franjele Moiré):

$$(79) \quad M_1(x, y) = F_1(x, y) - F_2(x, y) = k_1 - k_2 = m_1$$

$$M_2(x, y) = F_1(x, y) + F_2(x, y) = k_1 + k_2 = m_2$$

Datorită particularităților vederii umane (urmărirea preferențială a frecvențelor spațiale mari) în fiecare regiune a figurii de interferență va fi sesizată doar una din familiile de curbe (79), respectiv cea pentru care diagonală de urmărire este mai scurtă (frecvență spațială mai mare a punctelor de intersecție).

Interfranja  $f_1$  este din fig.15:

$$(80) \quad f_1 = OS \sin(\varphi - \beta)$$

Tot din fig. 15 avem

$$(81) \quad OS = \left[ \left( \frac{\partial x}{\partial m} \right)^2 + \left( \frac{\partial y}{\partial m} \right)^2 \right]^{\frac{1}{2}}$$

$$(82) \quad t g \beta = \left[ \frac{\partial F_1(x, y)}{\partial y} \right] \cdot \left[ \frac{\partial F_2(x, y)}{\partial x} \right]^{-1}$$

$$(83) \quad t g \varphi = - \left( \frac{\partial y}{\partial m} \right) \left( \frac{\partial x}{\partial m} \right)^{-1}$$

Eliminând în (80) unghiiurile  $\varphi$  și  $\beta$  cu (82), (83) explicitând OS cu (81) și ținând cont de relația matematică

$$(84) \quad \frac{\partial M_1(x, y)}{\partial x} \cdot \frac{\partial x}{\partial m} + \frac{\partial M_1(x, y)}{\partial y} \cdot \frac{\partial y}{\partial m} = 1$$

obținem

$$(85) \quad f_1 = \frac{\delta m}{\left[ \left( \frac{\partial M_1(x, y)}{\partial x} \right)^2 + \left( \frac{\partial M_1(x, y)}{\partial y} \right)^2 \right]^{\frac{1}{2}}}$$

Deoarece avem curbele date parametric cu salturi discrete pentru număratare  $\delta m = 1$  și (85) trece în

$$(86) \quad f_1 = \left[ \left( \frac{\partial F_1(x,y)}{\partial x} - \frac{\partial F_2(x,y)}{\partial x} \right)^2 + \left( \frac{\partial F_1(x,y)}{\partial y} - \frac{\partial F_2(x,y)}{\partial y} \right)^2 \right]^{-\frac{1}{2}}$$

ținind cont de (79)

Similar obținem

$$(87) \quad f_2 = \left[ \left( \frac{\partial F_1(x,y)}{\partial x} + \frac{\partial F_2(x,y)}{\partial x} \right)^2 + \left( \frac{\partial F_1(x,y)}{\partial y} + \frac{\partial F_2(x,y)}{\partial y} \right)^2 \right]^{\frac{1}{2}}$$

Aplicînd același raționament utilizat la deducerea (86) și (87) obținem pentru pasul rețelelor  $F_1$  și  $F_2$

$$(88) \quad R_1 = \left[ \left( \frac{\partial F_1(x,y)}{\partial x} \right)^2 + \left( \frac{\partial F_1(x,y)}{\partial y} \right)^2 \right]^{-\frac{1}{2}}$$

$$(89) \quad R_2 = \left[ \left( \frac{\partial F_2(x,y)}{\partial x} \right)^2 + \left( \frac{\partial F_2(x,y)}{\partial y} \right)^2 \right]^{-\frac{1}{2}}$$

Zona de frontieră ce delimită franje Moiré vizibile date de  $M_1$  de franje Moiré vizibile date de  $M_2$  este caracterizată de intersecția  $F_1$  cu  $F_2$  sub unghiurile drepte, sau echivalente:

$$(90) \quad \frac{\frac{\partial F_1(x,y)}{\partial y}}{\frac{\partial F_1(x,y)}{\partial x}} \cdot \frac{\frac{\partial F_2(x,y)}{\partial y}}{\frac{\partial F_2(x,y)}{\partial x}} = -1$$

Ecuatia zonă de frontieră este

$$(91) \quad \psi(x,y) = \frac{\partial F_1(x,y)}{\partial y} \frac{\partial F_2(x,y)}{\partial y} + \frac{\partial F_1(x,y)}{\partial x} \frac{\partial F_2(x,y)}{\partial x}$$

Introducînd în (86) (87) expresiile (88), (89) și (91) obținem pentru interfranja Moiré expresia

$$(92) \quad f_{1,2} = \frac{R_1 R_2}{(R_1^2 + R_2^2 \mp \Psi_{R_1 R_2})^{\frac{1}{2}}}$$

Tinind cont de (88), (89), (91) obținem pentru  $\Psi_{R_1 R_2}$

$$(93) \quad \Psi_{R_1 R_2} = \left\{ 1 + \left[ \frac{\frac{\partial F_1(x,y)}{\partial x} \cdot \frac{\partial F_2(x,y)}{\partial y} - \frac{\partial F_1(x,y)}{\partial y} \cdot \frac{\partial F_2(x,y)}{\partial x}}{\frac{\partial F_1(x,y)}{\partial y} \cdot \frac{\partial F_2(x,y)}{\partial y} + \frac{\partial F_1(x,y)}{\partial x} \cdot \frac{\partial F_2(x,y)}{\partial x}} \right]^2 \right\}^{-\frac{1}{2}} = \\ = (1 + \tan^2 \beta)^{-\frac{1}{2}} = \cos \beta$$

Cu (93) vom obține pentru (92) forma:

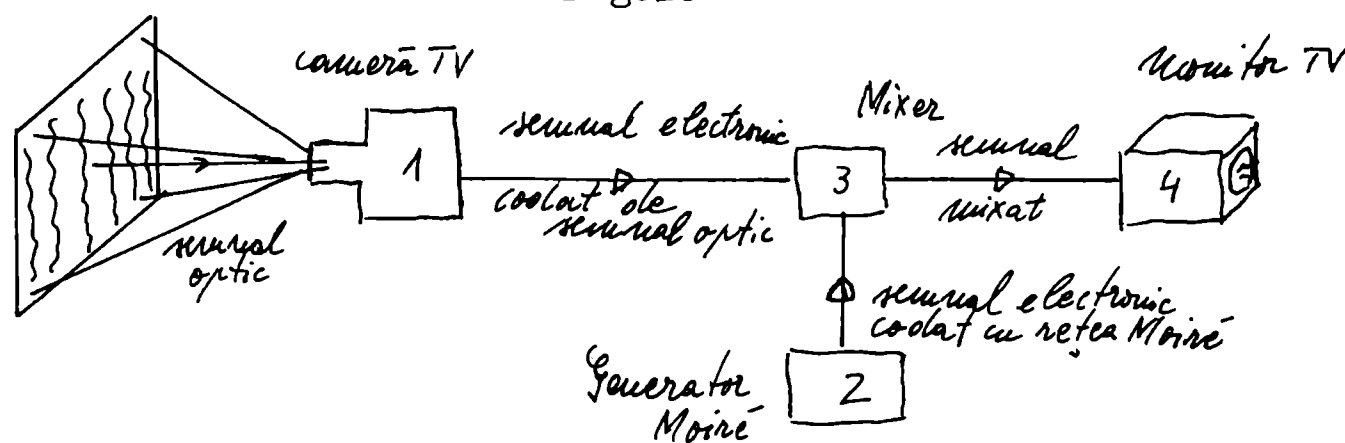
$$(94) \quad f_{1,2} = \frac{R_1 R_2}{(R_1^2 + R_2^2 \mp R_1 R_2 \cos \beta)^{\frac{1}{2}}}$$

### 3.1.2. Producerea fenomenului Moiré.

Cu toate că fenomenul este cunoscut încă din secolul trecut (1859, Foucault propune o metodă de verificare a sistemelor optice cu Moiré), producerea lui constituie o problemă. Prin interferență geometrică se cer rețele perfect paralele sau cu geometrii simetrice și cu un număr foarte mare de linii ( $\sim 10^2 \text{ cm}^{-1}$ ), condiție care costă mult și astăzi, tinând cont și de numeroasele tipuri de rețele necesare.

Generarea electronică a unui semnal video care să formeze o rețea de drepte paralele echidistante este o soluție elegantă a acestei probleme. În plus montajul electronic poate ușor genera o gamă foarte largă de frecvențe spațiale de diverse inclinări și factori de umplere, de unde o **VERSATILITATE** remarcabilă a metodei.

Fig.16



In fig.16 este sugerat un montaj practic, în care imaginea rețelei de macrofranje dată de o interferogramă holografică este preluată de o cameră TV (1) și transformată într-un semnal video.

In montajul electronic (3) acest semnal este mixat cu semnalelul electroc provenit de la generatorul electronic de rețele Moiré (2) și trimis la intrarea video a unui monitor TV.

Pe ecranul acestuia vor apărea franje Moiré rezultate din interferența semnalelor electronice purtând codată informația optică, procesul fiind echivalent cu o interferență optică obisnuită.

Datorită neliniarității camerei, monitorului și componentelor electronice, atât rețeaua de macrofranje cît și cea generată electronic pot fi sterse de pe ecran, efectul Moiré fiind deosebit de clar.

Variatia în limite largi a parametrilor imaginii obținute este posibilă datorită performanțelor electronice ale montajului: contrast cameră TV, contrast monitor TV, mixaj electronic (modificarea raportului luminozităților imaginii macrofranjelor și imaginii rețelei generate electronic).

In aceste condiții avantajoase de lucru se pot obține rezultate concluzante ușor și mai repede ca în tehniciile mai vechi, ceea ce va face ca această metodă de producere a franjelor să se impună în curînd.

### 3.2. Interpretarea imaginii obținute prin Moiré - generat electronic.

Fie un solid rigid cu o deformare de ordinul mm studiat printr-o metodă interferometrică holografică.

Sistemul de franje parazite, date de o mișcare de ~~filt~~,

.//.

modulat de sistemul de franje utile este de forma:

$$(95) \quad \Delta_n + \Delta_0 = (2n+1) \frac{\lambda}{2}, \quad n \in \mathbb{N} + \{0\}$$

Sistemul auxiliar de franje, cu maximele numerotate prin  $m$ ,  $m \in \mathbb{Z}$  este

$$(96) \quad G(x, y) = m$$

Suprapunind franjele (95) și (96) obținem franje Moiré localizate acolo unde este îndeplinită condiția:

$$(97) \quad (n - m) = 1$$

sau

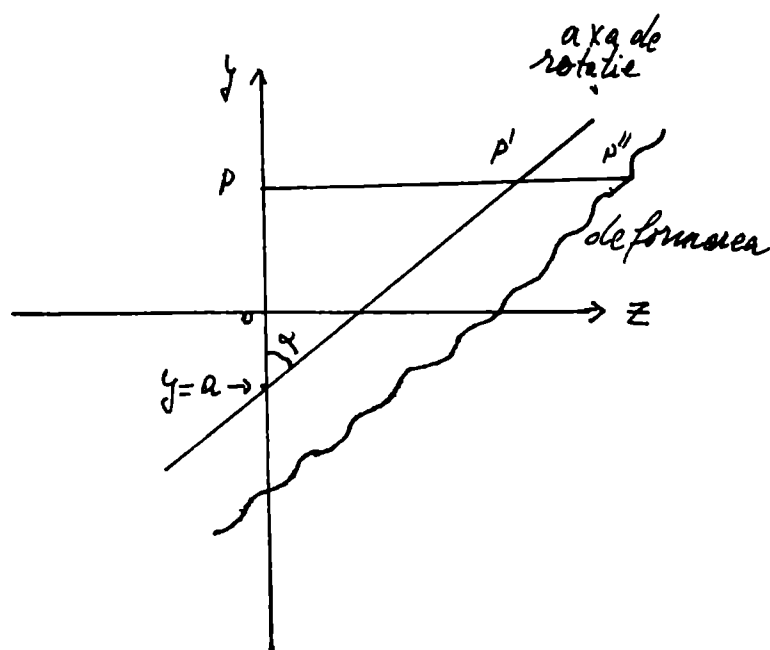
$$(98) \quad \Delta U = (2n+1) \frac{\lambda}{2} - \Delta P = (2l+1) \frac{\lambda}{2} + \lambda G(x, y) - \Delta P$$

Dacă structurile sistemului auxiliar de franje corespund structurii sistemului de franje parazite și mărimea este aleasă corespunzător (98) devine:

$$\Delta U = (2l+1) \frac{\lambda}{2}$$

adică sistemul de franje Moiré reprezintă franjele de interferență datorate deformării pure.

Fig. 17



In fig.17 este sugerată formarea Moiré-urilor pentru o mișcare de înclinare (tilt) cu următoarea convenție: indicele  $m$  se alege astfel încât franja care reprezintă cea mai mică deformare în figura Moiré să aibă indicele  $l = 0$ .

$$(99) \quad \Delta \rho = (y - a) f_r \lambda, \quad f_r = \frac{t_g \lambda}{\lambda}$$

Rețeaua auxiliară pentru demodulare:

$$(100) \quad y = m d_s + \varphi, \quad m \in \mathbb{N} \cup \{0\}, \quad d_s = \frac{1}{f_s}$$

$$G(x, y) = (y - \varphi) f_s = m$$

Tinând cont de (98) avem din (99) și (100) :

$$(101) \quad \Delta u = (2\ell + 1) \frac{\lambda}{2} + (f_r - f_s)y\lambda + (af_r - \varphi f_s)\lambda$$

Cazul 1. În absența deformației, franjele parazite și cele auxiliare coincid:

$$f_s = f_r \quad \text{și} \quad a = \varphi$$

$$(102) \quad \Delta_0 = (2\ell + 1) \frac{\lambda}{2}$$

Franjele Moiré reprezintă franje de interferență datorate deformării pure.

Cazul 2  $f_s = f_r$  și  $a = \varphi + \delta \varphi$

$$(103) \quad \Delta_0 = (2\ell + 1) \frac{\lambda}{2} + f_s \lambda \delta \varphi$$

cu eroare maximă pentru  $\delta \varphi = \frac{d_s}{2}$

$$(104) \quad \Delta_0 = (2\ell + 1) \frac{\lambda}{2} \pm \frac{\lambda}{2}$$

Cazul 3  $f_s = f_r + \delta f_r$ ;  $a = \varphi + \delta \varphi$

$$(105) \quad \Delta_0 = (2\ell + 1) \frac{\lambda}{2} + f_s \lambda \delta \varphi + (\varphi - g) \lambda \delta f_r$$

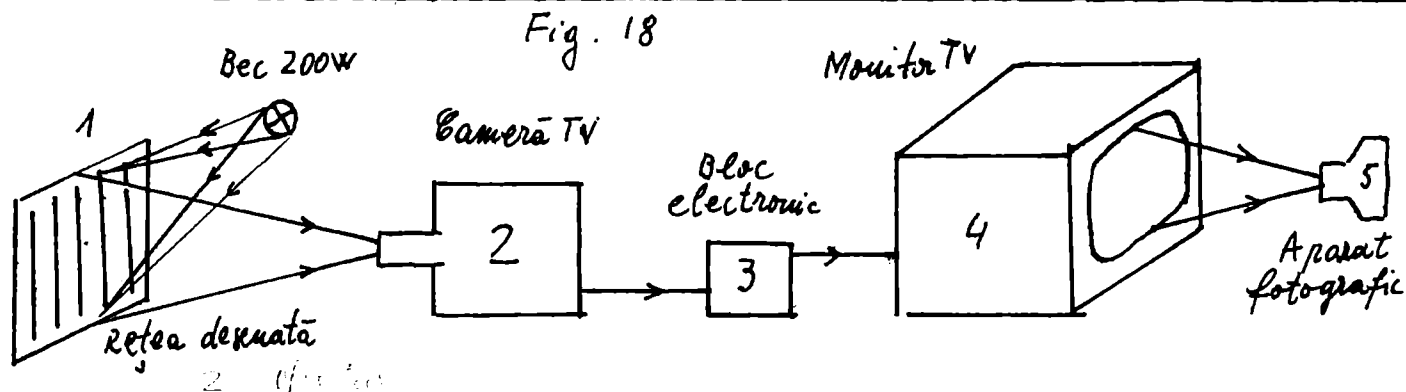
## CAPITOLUL 4

### 4.1. Descrierea aparaturii folosite în eliminarea franjelor parazite din interferometria holografică și rezultate experimentale.

Lucrarea a fost efectuată în laboratoarele IETAR sub îndrumarea competentă și de cele mai multe ori cu ajutorul îndrumătorului științific.

În prima fază am verificat posibilitatea obținerii franjelor Moiré prin tehnica descrisă în 3.1.2. în felul următor.

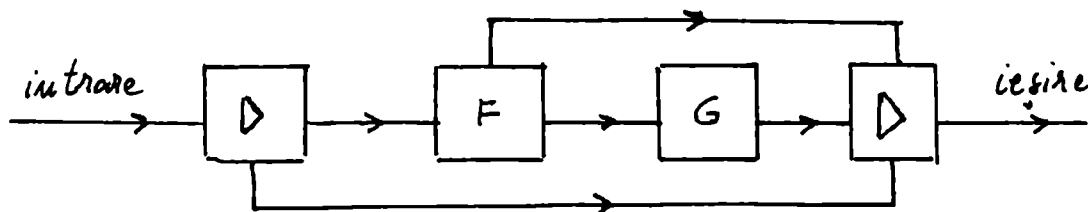
#### 4.1.1. Franje Moiré obținute prin interferență geometrică între o rețea desenată și o rețea generată electronic.



În fig. 18,(1) reprezintă o rețea tipărită pe o revistă de optică, iluminată de la aproximativ 1 m de un bec de 200 W. Imaginea este preluată de o cameră TV tip CCTV Video (2), formarea imaginii fiind asigurată de obiective cu  $f_1 = 25$  mm,  $f_2 = 45$  mm,  $f_3 = 70$  mm de tip normal și superangular (2). La ieșire camera poate furniza un semnal, modulat de imagine, direct pentru etajele de baleiere a fasciculului electronic din tubul cinescop (tipul CCTV Video) sau două tipuri de semnale, cel menționat anterior plus un semnal modulat de imagine pe o purtătoare de înaltă frecvență în canalul 2 TV (tipul CCTV Video Lax).

Semnalul furnizat de (2) intră în (3) care este un montaj electronic cu următoarea schemă bloc.

Fig.18.3.



După ieșirea din primul etaj amplificator semnalul trece pe două căi: prin F este extras semnalul de sincronizare ce intră în blocul 6. Aici se formează semnalul ce va apărea pe monitor ca o rețea de drepte paralele. Blocul 6 are următoarele reglaje: 1) gradul de modulare a semnalului (reglează raportul intensităților imagine venită pe cale optică, imagine generată electronic) ; 2) diferența de timp în producerea impulsurilor ce modulează o linie (reglează frecvența liniilor) 3) diferența de timp între două impulsuri analogice ce modulează două linii (reglează înclinarea rețelei) 4) numărul impulsurilor următoare celui ce stabilește frecvența liniilor rețelei (reglează factorul de umplere al rețelei)

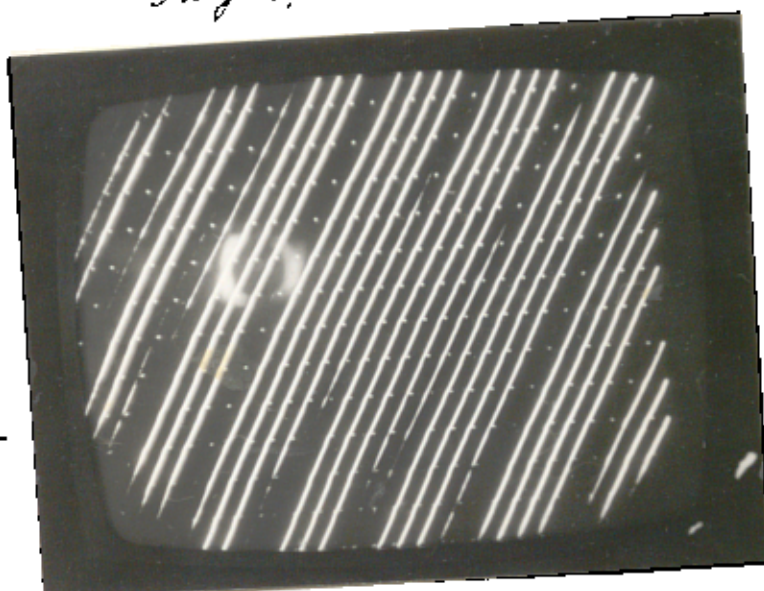
In ultimul amplificator intră semnalul de intrare amplificat liniar de primul amplificator, semnalul provenit de la blocul 6 și un semnal de sincronizare dat de F.

Monitorul (4) este un TV obișnuit, tip Sport (produție Românească), ataçat de semnalul furnizat de (3) direct pe blocul de amplificare pentru bobinele de deflexie și grila de comandă a tubului cinescop.

Imaginea fumizată de (4) este înregistrată pe peliculă fotografică (27DIN) cu un aparat foto tip Pentacon Six.

După tatonări privind luminozitatea imaginii și modificări în generatorul electronic 6 la reglajul raportului intensităților am obținut franjile Moiré dorite (vezi fotografia 1).

Fotografia 1



1. Fenomenul Moiré, produs de mixarea electronică a searării lui de la camera TV, semnal codat în imaginea unei rețele de drepte desenate pe hirtie, cu searăul generat electronic în blocul G.

Fotografia 2



2. Fotografia unei I.H.O.E. efectuate cu un corp de româră după unele precizii. Frajile vizibile sunt rezultatul unei microrotări parante, frajile ușoare săturate concentratorilor de eforturi nu apar.

Fotografia 3



3. Rezultatul eliminării frajelor parante din fotografia 2.

Se remarcă, în centru al figurii, frajele ce apar în jurul concentratorilor de efort (patru bolturi), fraje ce decinu de formările suprafeței din  $3 \cdot 10^{-3}$  m în  $3 \cdot 10^{-3}$  m. (intersecțare cu metoda ZF)

#### 4.1.2. Eliminarea franjelor parazite de pe o interferogramă holografică reproducă pe o fotografie.

Următoarea fază a fost verificarea posibilității de eliminare a franjelor parazite apărute în interferometria holografică.

Pentru aceasta am luat fotografia unei interferograme holografice reprezentând un corp de pompă supus la o solicitare, interferogramă cu franje parazite, și am încercat să ajungem cu metoda de Moiré la o interferogramă fără franje parazite. Drept etalon am folosit interferograma fără franje parazite a aceluiasi corp de pompă supus solicitării.

Montajul de lucru a fost același din fig.10, dar rezultatele neconcludente. Analizînd mai atent fenomenul de formare a imaginii am constatat că fenomenul nu se produce datorită rezoluției limitate a diverselor componente optice.

Astfel: a) fotografia cu care au lucrat era de dimensiuni  $3 \text{ cm} \times 4 \text{ cm}$  cu rezoluție de cel mult 10 linii  $\frac{\text{mm}}{\text{mm}}$ , b) obiectivul cu  $f_{\min} = 25 \text{ mm}$  forma o imagine a fotografiei de cel mult 1 din suprafața traductorului opto-electronic c) traductorul are o rezoluție de cel mult 10 linii  $\frac{\text{mm}}{\text{mm}}$  pentru contrast maxim și contur bine definit.

In aceste condiții, imaginea inițială (de pe fotografie) pierde prea multă informație în lanțul de transformare pînă la ecranul monitorului.

In afara de aceasta, constatăm și o diferență de frecvențe spațiale între liniile interferogramei și ale rețelei Moiré prea mare pentru a fi micșorată prin reglajele electroce ale blocului 6.

Pentru a rezolva această problemă am modificat optica camerei TV în așa fel încît să obținem pe tubul vidicono imagine egală ca suprafață cu cea a traductorului.

Practic am pus un distanțor obiectivului camerei, imaginea nemai formîndu-se în planul focal, ci la o distanță determinată după acesta. Mărimea obținută este supravînată în detrimentul punerii la punct care se face între plane foarte apropiate (3+5 cm).

După aceste modificări am fost nevoită să mărim luminozitatea fotografiei, camera fiind la cîțiva cm. de fotografie, și să îmbunătățim partea electronică de formare a semnalului pentru a obține o imagine satisfăcătoare și obținerea Moiréului dorit.

Pentru eliminarea franjelor parazite am procedat astfel: am măsurat pe ecranul monitorului TV frecvența franjelor ce apăreau pe fotografia interferogramei, în diverse locuri, precum și factorul de umplere (alb, negru) al franjelor, după care am generat electronic o rețea avînd o frecvență egală cu media ponderată a frecvențelor franjelor interferogramei și un factor de umplere egal cu cel al franjelor.

Suprapunînd cele două rețele (electronic) am obținut rezultatul din fotografie 3.

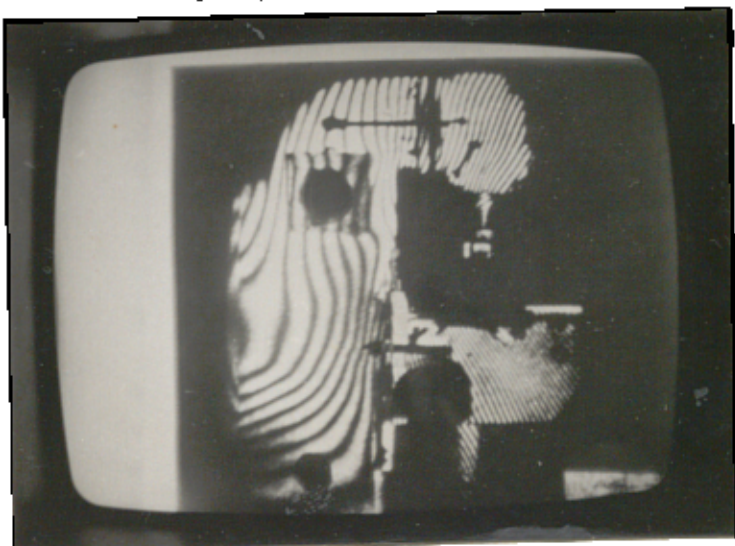
Se remarcă ușor diferența între centrul fotografiei 2 (imaginea bidimensională a interferogramei IHDE unui corp de pompă supus presiunii) și centrul fotografiei 3.

Noua imagine (foto 3) poate fi ușor interpretată acum cu metodele descrise în capitolul 2, dînd informații concrete pentru controlul holografic nedestructiv.

Problema ce rămîne în continuare este dacă imaginea din fotografie 3 este într-adevăr cea căutată, respectiv dacă franjele ce au apărut descriu deformarea reală a corpului de pompă.

O posibilitate, din păcate pur teoretică, este de a analiza deformarea pe un model matematic. Forma complicată și prezența concentratorilor de eforturi fac imposibilă această alternativă.

Fotografia 4



4. Fotografia unei interfe-  
grame holografice efectuată  
unei mășini ușoare în re-  
giun de funcționare.

Frâurile ce apăsă sunt  
rezultatul unei mișcări  
nedorite în timpul expunerii.

Fotografia 5



5. Rezultatul eliminării  
frânilor parazite din foto 4  
cu metoda de Moiré generat  
electronic. Interesantă parte  
dreapta sus, frânilor obiectiv  
curbele de egali deformare  
pe direcția de vizare.

Interfrâna  $\sim 3 \cdot 10^{-3}$  m (ZF)

Fotografia 6



6. Rezultatul eliminării  
frânilor parazite din foto 4  
cu metoda sandwich,  
structura parții dreapta sus  
similară celei din foto 5

-

Am ales atunci o cale de a verifica corectitudinea metodei ca atare, prin compararea rezultatelor obținute cu alte metode similare.

Astfel, în fotografie 4, avem înregistrată imaginea bidimensională a unei interferograme holografice (o mașină unealtă la care interesează comportarea părții dreapta sus). Din cauza condițiilor de obținere tocmai regiunea vizată are numeroase franje parazite ce fac imposibilă interpretarea interferogramei. Autorii articolului din care am preluat fotografie 4 au "curățat" de franje parazite interferograma prin metoda "sandwich", rezultatul fiind fotografie 6, și au dat noul sistem de franje pentru interpretare, ca fiind cel real.

Rezultatele obținute prin metoda Moiré cu fotografie 4 sunt prezентate în fotografie 5 și se pot compara imediat cu cele din metoda "sandwich" (fotografie 6). Similaritatea este evidentă, pînă la identitate neputîndu-se ajunge datorită distorsiunilor fotografiei precum și rezoluției mediocre a acesteia - în comparație cu hologramele pe care au fost făcute fotografiile.

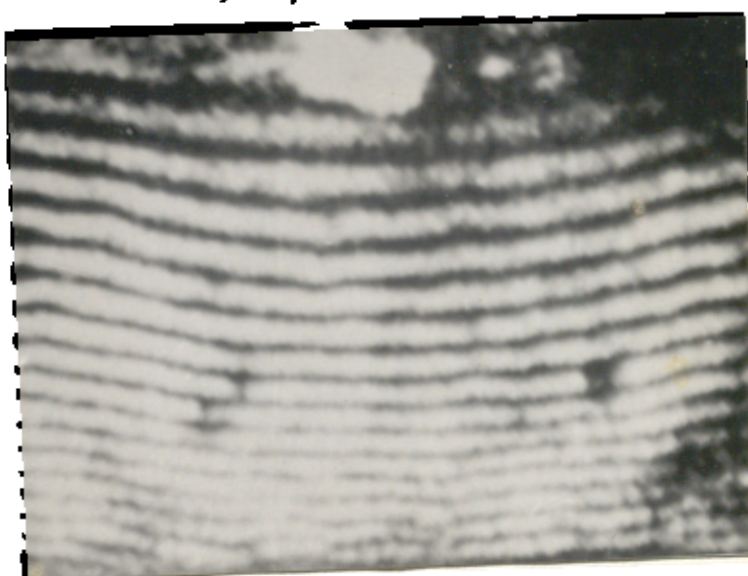
Pentru o comparare mai completă a metodei Moiré am apelat și la fotografie 7, reprezentînd forma bidimensională a unei interferograme holografice făcute unei vertebre. Franjele parazite ce apar împiedică interpretarea celor utile, astfel că, printr-o metodă de Moiré clasic, autorii articolului din care am luat fotografie 7 au "curățit-o" transformînd-o în ceea ce se vede în fotografie 9.

În laborator, cu montajul prezentat anterior, am obținut prin tehnica Moiré de eliminare a franjelor parazite fotografie 8.

Diferențele între rezultate sunt minore și se datoresc în principal lipsei de rezoluție a fotografiilor 7 și 9, mult mai mici decît rezoluția unei interferograme holografice, și diferențelor

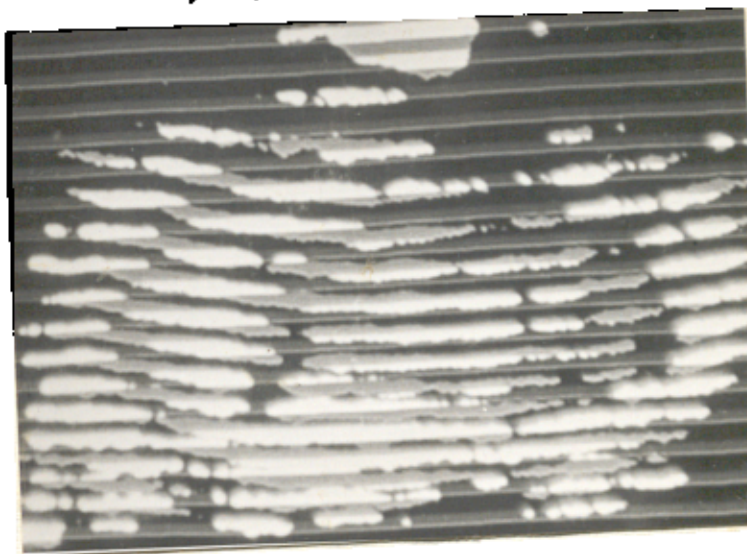
Fotografia 7

7. Fotografia unei interfe-  
rograme holografice efectuată  
cu o vertebrală. Frajenile  
sunt rezultatul unei incli-  
nări parazitare (mai mică de  
un grad și jumătate) a vertebrăi  
în timpul expunerii.



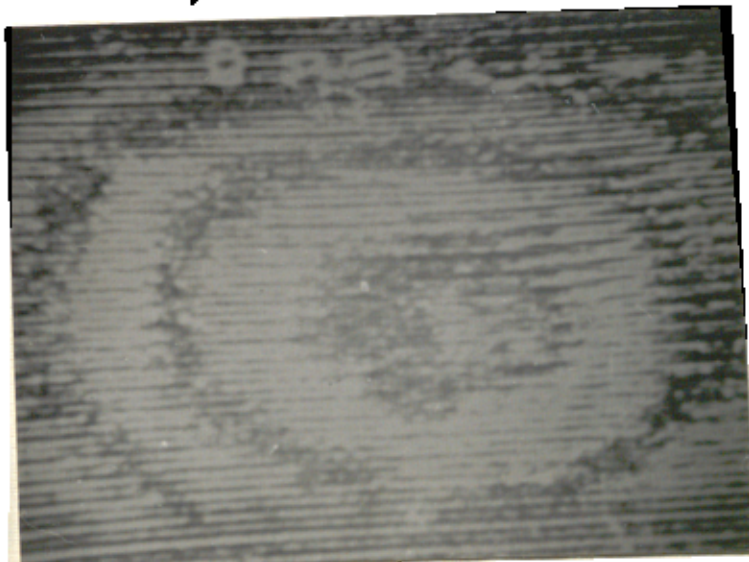
Fotografia 8

8. Rezultatul eliminării  
frajenelor parazite din foto-  
grafia 7 cu metoda Moiré  
generată electronic



Fotografia 9

9. Rezultatul eliminării  
frajenelor parazite din foto-  
grafia 7 cu o metodă Moiré  
clasică. Contrastul  
îmbunătățit este obținut  
prin filtrează spatial și proce-  
duri tricromatice.



între imaginile color 7 și 9 inițiale, preluate alb negru de camera TV, și imaginea de pe monitorul TV care a fost alb-negru.

Concluzia la care am ajuns după comparația cu aceste metode a fost favorabilă metodei Moiré de eliminare a franjelor parazite, respectiv franjele ce apar după aplicarea ei sănătății într-adevăr cele căutate.

În continuare am luat imaginea bidimensională (fotografia 10) a unei IHDE făcute unui corp paralelipipedic metalic supus unei presiuni, IHDE realizată în laborator. Interpretarea ei este imposibilă datorită sistemului de franje parazite ce apar și în mod normal ar fi fost inutilizabilă.

Pentru eliminarea franjelor parazite am procedat similar cazurilor anterioare, respectiv am generat electronic o rețea cu frecvență și factor de umplere cît mai apropiate de frecvența și factorul de umplere al franjelor existente.

Rezultatul este fotografia 11, franjele ce au apărut fiind considerate de noi ca cele necesare pentru interpretarea ulterioară a interferogramei (vezi și 4.1.3.a; 4.1.3.b)

#### 4.1.3. Eliminarea franjelor parazite din interferogramele holografice

În paragrafele anterioare ale acestui capitol am prezentat experimentele ce au fost efectuate pentru confirmarea justitiei metodei propuse.

Din descrierea instalației experimentale și a modului de lucru propriu zis s-a putut sesiza ușor că nu s-a lucrat direct pe interferograme holografice ci pe copii pe hîrtie fotografică ale acestora.

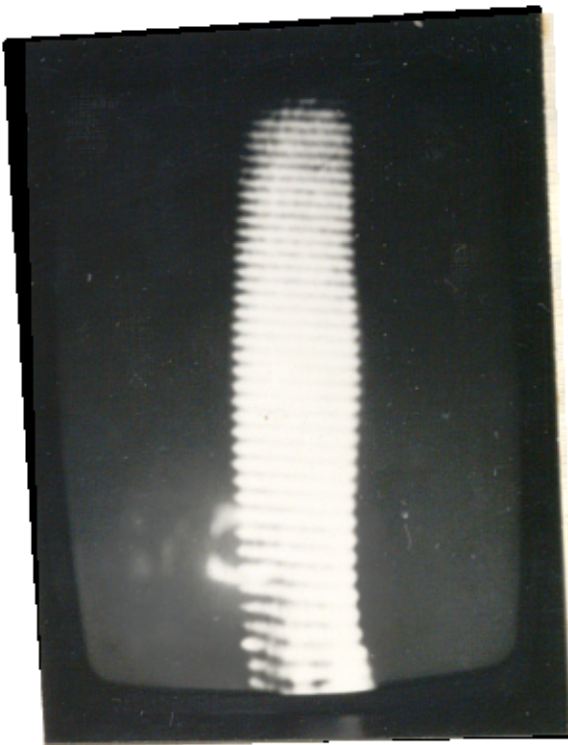
Dezavantajele acestui mod de lucru sănătății următoarele: 1) Fotografierea unei interferograme holografice presupune un proces

.//.

Fotografia 10

10. Fotografia una I H.O.E efectuată  
pe un paralelipiped metalic uscat  
pe direcția obiectivului celă mai  
lungă.

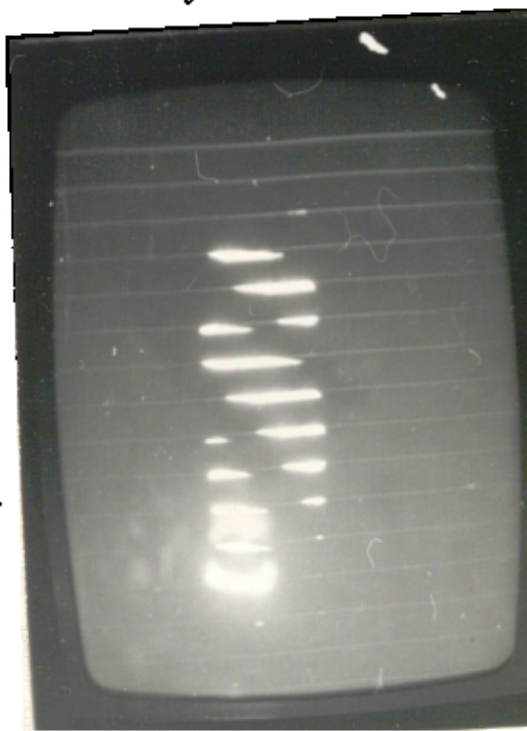
Frauile vizibile sunt rezulta-  
tul unei microrotări parante  
apărute la aplicarea efortului



Fotografia 11

11. Rezultatul eliminării frauilor  
parante din fotografia 10 cu  
metoda de Moiré generat elec-  
tronnic.

Frauile se apăr, segmente de  
cercuri concentrice, descriu o defor-  
mare pe direcția de vizare (flan-  
șaj) Yular frauia,  $\sim 3 \cdot 10^{-7}$  m, despart  
limite de egală deformare (metro-  
da ZF).

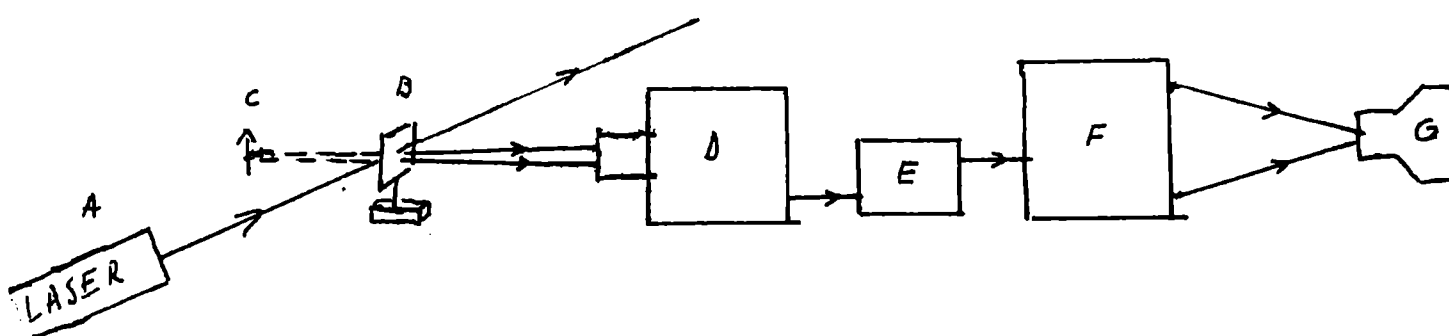


intermediar care necesită timp suplimentar, muncă suplimentară.  
 2) Rezoluția imaginii finale scade la nivelul rezoluției hîrtiei fotografice, mult sub rezoluția plăcii fotografice pe care este înregistrată interferograma, 3) Se pierde unul din avantajele esențiale ale interferometriei holografice, anume posibilitatea de a urmări din mai multe unghiuri figura de interferență, impunându-se fotografii multiple pentru o singură interferogramă holografică.

Deci, în mod normal, următorul pas al experimentelor a fost preluarea pe camera TV direct a figurilor de interferență de pe interferogramele holografice.

#### 4.1.3.a. Imagini primare (virtuale) de interferorame holografice.

Fig.19



Montajul experimental sugerat în fig.18 conține: A laser He-Ne de 5 mW sau 50 mW, B hologramă rezultată din IHDE, C imagine primară obținută prin iluminarea hologramei B cu fasciculul laser (imagine virtuală), D cameră TV, E bloc electronic de mixaj imagine dată de camera D cu rețea generată electronic, F monitor TV și G aparat fotografic.

Holograma B a fost obținută prin IHDE efectuată unui corp paralelipipedic supus la un efort (presiune).

Preluarea imaginii virtuale primare pe camera TV a fost relativ dificilă, datorită luminozității slabe a imaginii C. Efi- ciența la difracție a hologramelor plane cu variația transmitanței este practic în jurul a două trei procente, astfel că iluminată cu un laser de 5 mW imaginea primară nu poate fi preluată de camera TV

Am folosit un laser de 50 mW cu He-Ne pentru a trece peste limita de sensibilitate a camerei TV.

O altă dificultate peste care nu am mai putut trece a fost luminozitatea foarte diferită a diverselor porțiuni ale imaginii primare.

Astfel, dacă ochiul poate deosebi în lumină diurnă aproximativ 50 nivele de contrast diferit în alb și negru, camera TV este limitată doar la 7 nivele de gri. În aceste condiții unele părți ale imaginii trec în regiunile de subexpunere și supraexpunere ale traductorului (tubul vidicon) apărînd fals negre sau albe). Neajunsul nu poate fi înlăturat prin procedeele obisnuite, (*mutarea* caracteristicii vidiconului prin limitare electronică sau închidere deschidere a diafragmei obiectivului) decât pe porțiuni mici ale imaginii.

În aceste condiții singurul reglaj disponibil a rămas gradul de modulare a semnalului electronic (vezi 4.1.1.) cu ajutorul căruia am reușit să obținem o porțiune relativ mare a imaginii primare pe care să o "curățăm" de franje parazite.

Astfel în fotografie 12 este imaginea primară a unei inter- ferograme holografice obținute prin IHDE preluată de camera TV și fotografiată pe monitorul TV.

După măsurarea frecvenței spațiale a franjelor și a factorului de umplere și generarea electronică a unei rețele de drepte paralele echidistante de frecvență spațială și factor de umplere

(raport alb negru) corespunzătoare am obținut franjele reale în fotografie 13.

Interpretarea lor cu metodele prezentate în capitolul 4 este posibilă, fiind utilă în controlul nedestructiv.

Cercul vizibil parțial indică o translație longitudinală (pe linia de vizare), iar interpretarea lui cu metoda ZF dă mărimea acestei deplasări, respectiv — ( $\sim 3 \cdot 10^{-7}$  m).

Constatăm că la presiune paralelipipedul metalic s-a deformat flambînd cu cîteva fractiuni de micron pe direcția de vizare. Din păcate nu putem prezenta fotografic hologramele în această lucrare pentru a prezenta diversele sisteme de franje ce apar:

- drepte parallele echidistante D.P.E. în spatele imaginii fiind rezultatul translației în plan (după o compresie).
- DPE pe imagine ca rezultat al înclinării (compresie neuniformă) sau al unei rotații în plan (cuplu de răsucire).

Eliminarea lor s-a făcut, practic, în felul următor: am obținut pe monitorul TV o imagine cît mai clară și de luminozitate cît mai uniformă a interferogramei, imagine pe care am măsurat cu hîrtie milimetrică pasul (inversul frecvenței spațiale) franjelor parallele și gradul de umplere alb negru.

Am generat electronic o rețea de drept echidistante cu înclinare foarte apropiată de a franjelor, cu frecvență apropiată și factor de umplere.

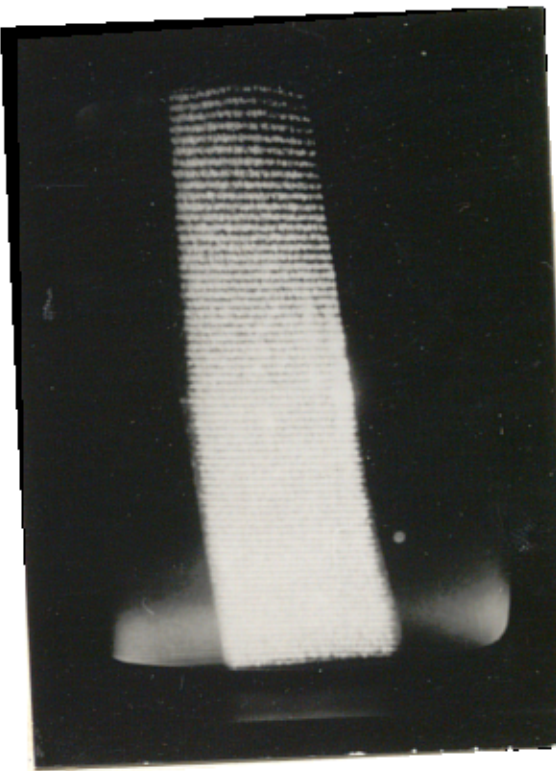
Pentru a realiza condițiile de egalitate riguroasă de înclinare, frecvență și factor de umplere (condiții în care franjele parazite să dispară, vezi cap.3) am procedat după cum urmează:

Variatia frecvenței rețelei electronice în jurul frecvenței franjelor produce sisteme de franje variabile (în cazul nostru concret familii de conice) tinzînd spre o configurație lăț variabilă cu frecvență dacă variația se face chiar pe intervalul de "aproximativ egal":  $f_s \in (f_n - \varepsilon, f_n + \varepsilon)$ .

Fotografia 12

12. Imaginea primară (verticală) a unei interfeioptame holografice cu dublă expoziție efectuată cu un paralelipiped metalic sub presiune.

Frauile vizibile sunt rezultatul unei microrotări parastice a paralelipipedului la aplicarea forței, între cele două expoziții.



Fotografia 13

13. Rezultatul eliminării frauilor parastice din imaginea primară a interfeoogrammei holografice cu metoda de Moiré electronic generat.

Frauajă vizibilă, un segment de cerc, deservie o deplasare pe direcția de vizare (flauțaj).

Mărimea ole formării  $\approx 3 \cdot 10^{-2}$  m  
(metoda ZF)

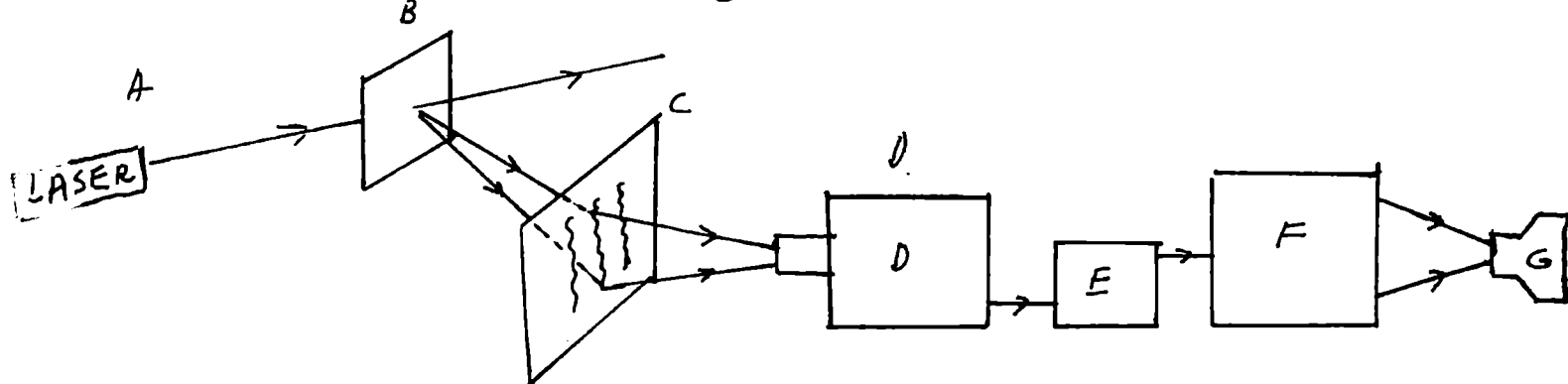


Variatia inclinării rețelei electronice, are rezultate semănătoare, fiind practic mai dificil de realizat (reglaje multiple corelate), dar strict necesară.

Variind succesiv frecvența și înclinarea spre a obține o configurație cît mai stabilă, tip "vale", am obținut în cazul nostru transformarea familiilor de conice în cercuri concentrice, fotografia 13, interpretarea lor fiind dată mai sus.

#### 4.1.3.b. Imagini conjugate (reale) de interferograme holografie

Fig. 20



Montajul experimental arătat în fig. 20 conține: A laser de 50 mW, B hologramă, C ecran transparent de calc pe care se formează imaginea conjugată (reală), D cameră TV, E bloc electronic, F monitor TV, G aparat fotografic.

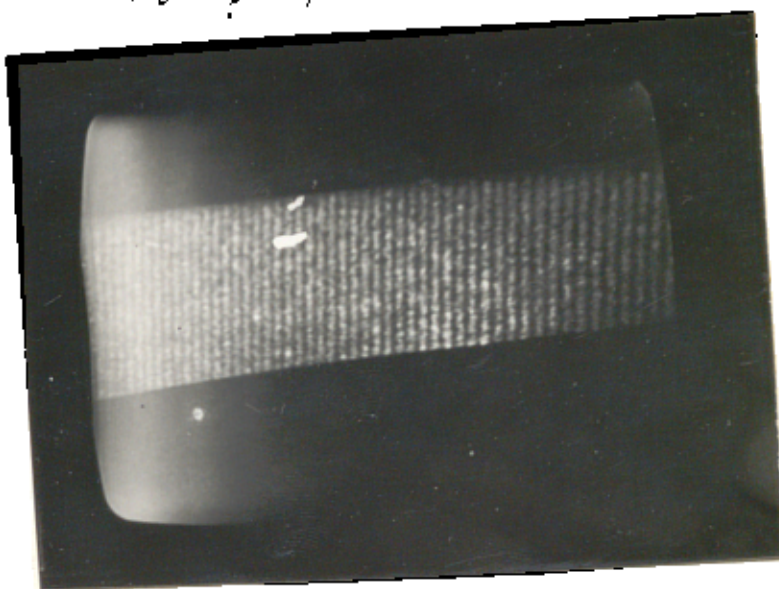
Holograma B a fost obținută prin IHDE efectuată unui corp paralelipipedic supus la un efort (presiune).

Reeluarea imaginii conjugate (reale) formată pe ecranul transparent (calc) a fost prin transmisie.

Problema luminozității neuniforme, greu de înălțurat la imaginile primare, a fost rezolvată mult mai ușor, prin înclinarea diferită a planelor hologramei, ecranului și camerei.

Urmărirea din diverse unghiuri a imaginii a fost posibilă schimbând unghiul fasciculului de citire față de planul hologramei (variație comod de efectuat într-un plan orizontal).

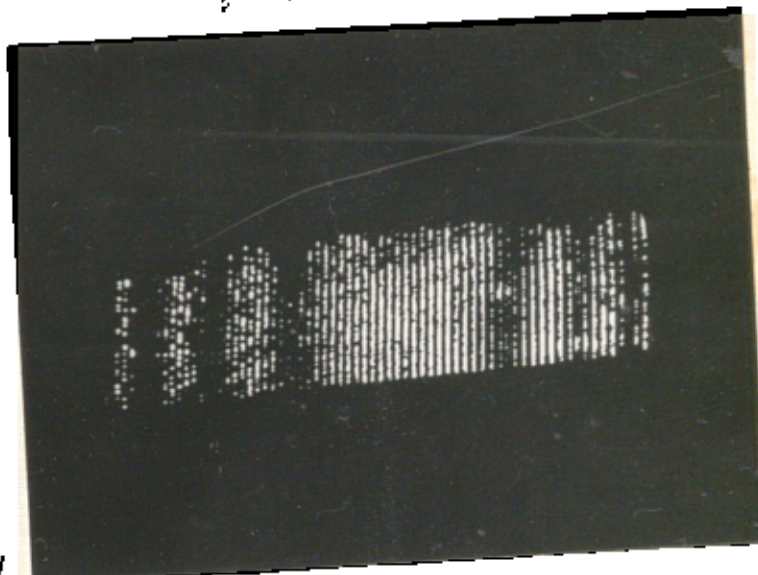
Fotografia 14



14. Imaginea conjugată (reală) a unei 14.0E efectuată cu un paralelipiped metalic prevăzut.

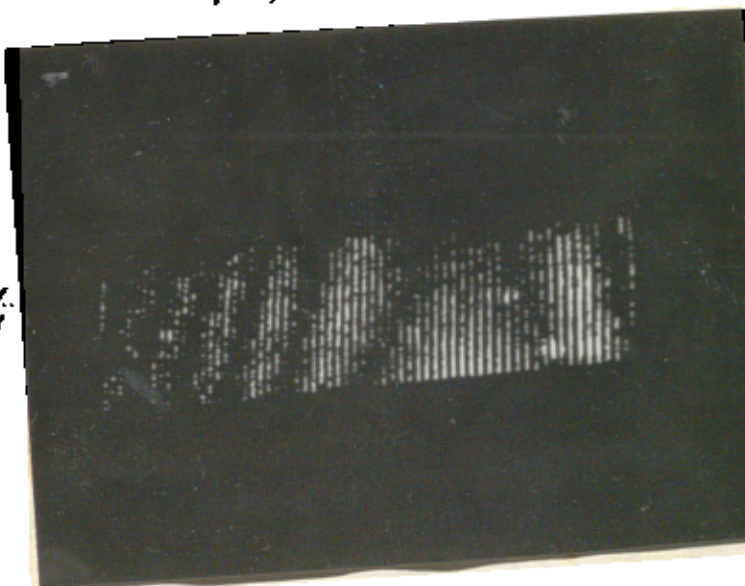
Frauile vizibile sunt rezultatul unei sucuroroturi parazite a paralelipipedului între cele două expuneri

Fotografia 15



15. Rezultatul eliminării frauilor paraziti obținut imaginea conjugată a interfe- gramei holografice cu metoda de Moiré generat electronic. Frauile apărute (segmente de cerc) descriu deformarea (flamboaj) pe direcția de virare. În ter- frajă  $\approx 3 \cdot 10^{-3}$  m (metoda ZF)

Fotografia 16



16. Etapa intermediară de lucru în eliminarea frauilor paraziti. Frec-venurile spațiale și inclina- riile inegale produc famili de conice.

Vizualizarea diverselor planuri (în profunzime) s-a făcut mutînd ecranul de calc pe direcția de emergență a fasciculului difractat de hologramă.

De remarcat protejarea tubului vidicon, față de fasciculul nedifractat  $Co(Oo^2 + Ro^2)$  foarte intens, de ecranul de calc, protecție utilă în timpul manevrelor de punere la punct a diverselor imagini, față de intrarea nedorită a fasciculului laser intens în obiectivul camerei (urmată de deteriorarea tubului).

Una dintre imaginile hologramei B obținută pe ecranul monitorului TV în condițiile de mai sus este prezentată în fotografie 14. Se remarcă, prin comparație cu fotografiea 12, contururile mai bine definite ale franjelor precum și luminozitatea lor mult mai uniformă (partea luminoasă din stînga ecranului se datoră particularităților sistemului electronic și poate fi înălțată fără multe complicații).

Franjele dese, paralele echidistante, localizate pe imagine, sunt datorate unei înclinări accidentale mici (sub un grad) și fac imposibilă observarea oricărui alt sistem de franje.

Pentru înălțurarea lor am procedat similar cazului discutat în 4.1.3.a. (4).

În afara de reglajele electronice efectuate (destul de groși, instalația electronică fiind proiectată anterior experimentelor și urmînd a fi ulterior îmbunătățită după necesități) am avut la dispoziție și următoarele reglaje ale părții optice, mult mai fine:

Modificarea frecvenței franjelor, prin deplasarea înainte-înapoi a camerei TV față de ecranul de calc (camera a fost instalată pe un trepied);

Modificarea înclinării franjelor, prin rotirea camerei în jurul axului optic propriu (configurația de lucru permitea și

această manevră).-

Schimbarea foarte fină a fazelor rețelei de franje, prin deplasarea laterală dreapta-stînga a camerei T.V.

Structurile de franje, ce apărău la diverse variații ale parametrilor celor două rețele, erau familii de conice (vezi fotografie 16).

Căutînd din nou obținerea condițiilor de "stergere" a franelor parazite, respectiv frecvență, înclinare, fază și factor de umplere riguros egale, am obținut sistemul de franje utile din fotografie 15.

Cu toate că la prima vedere par a fi drepte paralele, sunt segmente de cercuri concentrice, cercuri a căror rază depășește mult dimensiunile figurii.

Interpretarea lor se face ca și în paragraful 4.1.3.a., respectiv paralelipipedul presat (pe dimensiunea cea mai mare) a flambat, cercurile definind curbele de egală deplasare (diferența de deformare între două frâne succitive fiind —  $\sim 3 \cdot 10^{-7}$  m).

Recomandăm această ultimă metodă de eliminare a franelor parazite prin metoda Moiré ca fiind cea mai ușor de folosit și cu rezultatele cele mai bune.

Ca mențiuni, în tot cursul experimentelor am neglijat distorsiunile produse de:

- 1) Hologramă;
- 2) Formarea imaginilor tridimensionale holografice
- 3) Formarea imaginilor de camera TV (ondulații ale hîrtiei fotografice, ondulații ale ecranului de calc).
- 4) Formarea imaginilor pe monitorul TV (nелиніаритățile tubului cinescop și distorsiunile de liniaritate verticală, orizontală) ca fiind cu un efect perturbator de ordin de mărime mai mic decît efectul util.

## CAPITOLUL 5

### C O N C L U Z I I

Controlul nedistructiv al diverselor componente de instalații precum și al instalațiilor a devenit o necesitate a stadiului actual de dezvoltare a industriei și economiei în general.

Controlul holografic nedestructiv este o nouă metodă, cu rezultate excepționale în majoritatea domeniilor în care poate fi aplicată. Apariția relativ recentă (mai puțin de un deceniu) impune cercetărilor în acest domeniu un ritm foarte rapid, pentru a realiza tehnologii, metode, instalații aplicabile în industrie sau alte domenii.

Interferometria holografică este procedeul practic de la care au plecat metodele de control nedistructiv.

Derivată din interferometria optică (și aceasta cu rezultate excepționale în domeniul măsurătorilor), ca o îmbunătățire fundamentală a ei, interferometria holografică este deasemenea un domeniu nou de studiu, cu numeroase probleme nerezolvate încă.

Astfel, informațiile stocate pe o hologramă, obținută să presupunem prin interferometria holografică cu dublă expunere, pot fi total acoperite de efectul perturbator accidental sau inevitabil al unei miscări nedorite a uneia din componente ale montajului. În aceste condiții, pentru a putea avea o interferogramă care să prezinte numai informațiile dorite, utile, trebuie să se elimină toate fenomenele perturbatoare ce apar precum și toate miscările relative ale diverselor componente ale sistemului optic, sau să găsim un procedeu de eliminare a efectelor perturbațiilor pe holograme.

•//•

Cum prima alternativă impune condiții de lucru foarte severe, de cele mai multe ori practic irealizabile, se încearcă cealaltă cale, respectiv eliminarea franjelor parazite din figurele de interferență realizate prin interferometrie holografică.

Considerind figura de interferență ca rezultatul modulării rețelei de franje parazite de către rețeaua de franje utile, am încercat să demodulăm această figură, extrăgînd printr-un procedeu de Moiré rețeaua de franje utile.

Spre deosebire de tehniciile tradiționale de Moiré, presupunînd un mare număr de rețele desenate, trasate, fotografiate etc., care să acopere domeniile de frecvențe spațiale, factori de umplere necesari, am folosit o nouă tehnică, neexperimentată pînă acum, de generare electronică a rețelelor necesare.

Diversele etape ale experimentelor, descrise în capitolul 4, au confirmat pe rînd producerea fenomenului Moiré cu rețea generată electronic, posibilitatea demodulării figurilor de interferență prin această nouă metodă de Moiré, posibilitățile foarte variate de aplicare a metodei (fotografii de interferograme holografice, imagini primare virtuale tridimensionale ale interferogramelor holografice, imagini conjugate reale bidimensionale ale interferogramelor holografice).

Versatilitatea metodei este datorată multiplelor posibilități de reglare oferite atît de componentele electronice (camera TV, monitor TV, bloc electronic de generare rețele și mixaj) cît și de componente optice (montaj holografic, obiective cameră TV, posibilități de modificare a diverselor unghiuri între componente) precum și de posibilitățile de aplicare în numeroase domenii ale interferometriei holografice.

Rezultatele experimentale obținute (în fotografiile prezente în lucrare sînt arătate numai cîteva dintre ele) au permis

interpretarea comportării unor ~~căsu~~ri cu sau fără concentratori de eforturi în condiții de funcționare sau solicitare cu eforturi adecvate, comportare a cărei cunoaștere este necesară controlului nedestructiv.

Comparînd rezultatele obținute fie cu cele ale altor metode de eliminare a franjelor parazite, fie cu montajele în care nu apar fenomene perturbatoare, constatăm o superioritate a acestei noi metode în ceea ce privește posibilitățile ei de aplicare, ușurința de mînuire, prețul de cost, timpul afectat experimentelor (controlului), protecția personalului de fasciculul laser, superioritate ce o recomandă pentru aplicare în practică.

Toate experimentele fiind făcute în laboratoarele de holografie ale I.F.T.A.R. cu aparatelor și materialele existente acolo, îñin să mulțumesc încă o dată pentru amabilitatea și îndrumarea competentă acordată de șeful acestor laboratoare, doctor V.I.Vlad.

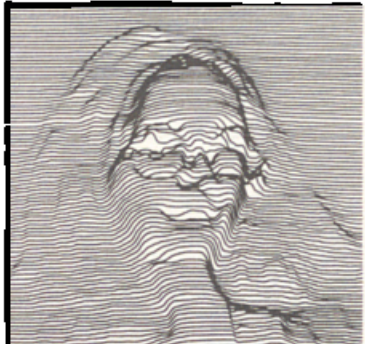
## B I B L I O G R A F I E

1. M.Born, E.Wolf - Principles of optics. Pergamon, Oxford 1974.
2. D. - 54, 1949.
3. E.N.Demir, - - - -
4. V.I.Vlad, - Introducere în holografie, Edit. Acad., Bucureşti, 1973.
5. V.I.Vlad, R.Zaciu, N.Miron, I.Maurer, D.Sporea, - Prelucrarea optică a informaţiei, Edit. Acad., Bucureşti 1976.
6. V.I.Vlad, - Raport anual T.H.N.D., contract I.F.M.- Intreprinderea de pompe, Bucureşti, 1976.
7. V.I.Vlad, - Controlul holografic nedestructiv, Primul simpozion naţional de tensometrie, Iaşi, 1977
8. V.I.Vlad, - Proiectarea şi calibrarea vibratorilor electromecanici utilizînd I.H. şi D.O.H., Primul simpozion naţional de tensometrie, Iaşi, 1977.
9. V.I.Vlad, R.Zaciu, V.Căpăţînă, D.Axinte, - Eliminarea franjelor produse de miscarea solidului rigid în interferometria holografică prin generarea electronică a franjelor Moiré, în Lucr.ses.şt. "Progresele fizicii", Bucureşti 14-15 iunie 1979.
10. R.I.Collier, C.B.Burckhardt, L.H.Lin,- Optical Holography, Academic Press, New-York, 1971.
11. I.Ch.Viénot, - Holographie optique, Développements, Applications, Dunod 1971.
12. H.M.Smith, - Principles of holography, Wiley, New-York, 1969.
13. G.W.Stroke, - An introduction to coherent optics and holography, Academic Press, New-York, 1969.

.//.

- 4. I.W.Goodman,
  - Introduction to Fourier optics, Mc Graw Hill, 1968.
- 5. A.Papoulis,
  - Sisteme and Transforms with Applications in Optics, Mc. Graw Hill, New-York,1968.
- 6. G.Cartianu,
  - Modulația de frecvență, Edit.Acad., București 1966.
- 7. A.I.Durelli, V.I.Parks, - Moiré fringes at parametric curves, Experimental Mechanics, Nr.3, 1977.
- 8. D.R.Mocanu,
  - Fenomenul Moiré și aplicațiile lui în tensometrie, Edit.Tehn., București 1978.
- 9. N.Abramson,
  - In D.Casasent, Ed.,Optical data processing Springer Verlag, Berlin 1978.
- 10. K. Piwernetz,
  - Optica acta, 24, No.3, 201,1977
- 11. R.K.Erf.,
  - Holographic Nondestructive Testing, Academic Press, New-York, 1974.

## REDUCE VIDEO DATA



The TV camera is a versatile data acquisition instrument that can generate the equivalent of 100 million bits of information per second.

The CVI Model 321 Video Analyzer reduces video data quickly and economically. Sampled waveforms are displayed directly on a TV monitor and low frequency video signals are made available for external A/D conversion. Movable cross-hairs provide X-Y coordinate signals, and a point sampling output operates with a standard X-Y plotter for precise signal analysis, line-selectable, for permanent, low-cost file copy, as pictured here.

The 321 may be used for many diverse operations. Mail this card for specifications and applications notes.

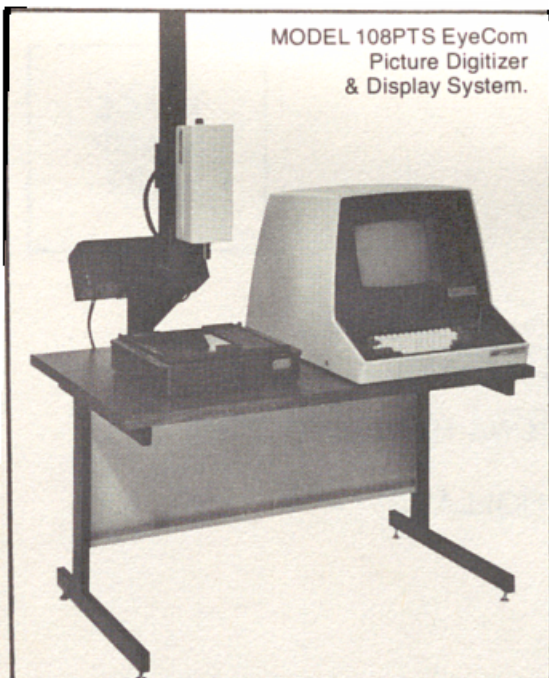
Name & Title \_\_\_\_\_

Dept. \_\_\_\_\_ Mail Stop. \_\_\_\_\_

Company \_\_\_\_\_

Address \_\_\_\_\_ P.O. Box \_\_\_\_\_

City \_\_\_\_\_ State \_\_\_\_\_ Zip \_\_\_\_\_



## IMAGE PROCESSING & ENHANCEMENT

X-ray Images or any Image can be computer processed to sharpen and define large or small areas.

Fast, accurate image analysis for SCIENCE, PHOTOGRAPHY, GEOLOGY, BIOLOGY, RADIOLOGY, METALLURGY, ASTRONOMY, GEOGRAPHY & many others. Fill in and mail for complete information.

Name/Title \_\_\_\_\_

Company \_\_\_\_\_

Address \_\_\_\_\_

City \_\_\_\_\_

Country \_\_\_\_\_

**SPATIAL DATA SYSTEMS, INC.**

PLACE  
STAMP  
HERE

## Optical Spectra ®

C/O KLM PUBLICATIONS HANDLING DEPT.  
P.O. BOX 75200  
1117 ZT SCHIPHOL, HOLLAND

OPC 10/79

PLACE  
STAMP  
HERE

## Optical Spectra ®

C/O KLM PUBLICATIONS HANDLING DEPT.  
P.O. BOX 75200  
1117 ZT SCHIPHOL, HOLLAND

OPC 6/79

① Eliminarea fraenelor parazite din I.H.  
prin - o metodă de Moiré optica - electronică.

-Introducere-

Apariția fraenelor parazite în I.H. este redorită, interpretarea fenomenului studiat fiind dificilă, dacă nu chiar imposibilă.

Fenomenele portătoare care produc fraenii paraziti pot fi în întregime doar în unele situații, și atunci cu un hard - core optic complex duhăt că experimentele ruginite.

În aceste condiții rămâne ca ultima alternativă eliminarea fraenelor parazite. Au fost propuse diverse metode, împresinându - se cele care obțin rezultatul dorit cu minimum de complexitate, de tipă; de fapt.

Priile acesta, metoda de Moiré clasică care prin oleografică retele de fraenii utile și parazite, obține reteaua de fraenii utile. Desavantajele metodei - numărul mare de retele (desenate, gravate, fotografiate, etc.) necesare, timpul consumat pentru a ajunge la rezultatul dorit.

În lucrarea de față va fi prezentată o nouă metodă de Moiré care nu mai are dezavantajele celor clasice, retelele fiind generate electronic într-o gamă largă de variație a parametrilor lor și timpul consumat pentru obținerea rezultatului dorit fiind mai mic.

- Teorie -

1. Moiré obținut prin interferență geometrică (meccanică).

Fenomenul Moiré este produs prin superpoziția a două retele de curbe (1)  $F_1(x,y) = k_1$  și  $F_2(x,y) = k_2$  și constă în apariția a încă două retele de curbe (2)  $M_1(x,y) = F_1(x,y) - F_2(x,y) = k_1 - k_2 = m_1$ , și  $M_2(x,y) = F_1(x,y) + F_2(x,y) = k_1 + k_2 = m_2$ , retelele descise doar prin punctele de intersecție ale  $F_1$  cu  $F_2$ . Datorită proprietăților fizioleice ale creierului uman (urmărirea preferențială a frecvențelor spațiale mari) doar una din retelele  $M_1, M_2$  va fi vizibilă, respectiv cea pe care interfața (frecvență spațială) este mai mică. Concret, avem frecvențele retelelor  $F_1$  și  $F_2$

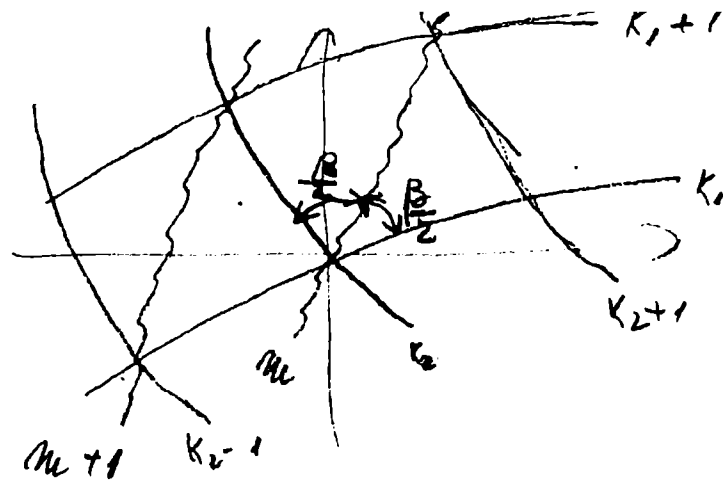
$$(3) \quad f_1^F = \left[ \left( \frac{\partial F_1}{\partial x} \right)^2 + \left( \frac{\partial F_1}{\partial y} \right)^2 \right]^{\frac{1}{2}} \quad \text{și} \quad f_2^F = \left[ \left( \frac{\partial F_2}{\partial x} \right)^2 + \left( \frac{\partial F_2}{\partial y} \right)^2 \right]^{\frac{1}{2}}$$

de unde pentru frecvențele retelelor  $M_1$  și  $M_2$  obținute cu (2):

$$(4) \quad f_1^M = \left[ \left( \frac{\partial F_1}{\partial x} - \frac{\partial F_2}{\partial x} \right)^2 + \left( \frac{\partial F_1}{\partial y} - \frac{\partial F_2}{\partial y} \right)^2 \right]^{\frac{1}{2}} \quad \text{și} \quad f_2^M = \left[ \left( \frac{\partial F_1}{\partial x} + \frac{\partial F_2}{\partial x} \right)^2 + \left( \frac{\partial F_1}{\partial y} + \frac{\partial F_2}{\partial y} \right)^2 \right]^{\frac{1}{2}}$$

②

Fig. 1

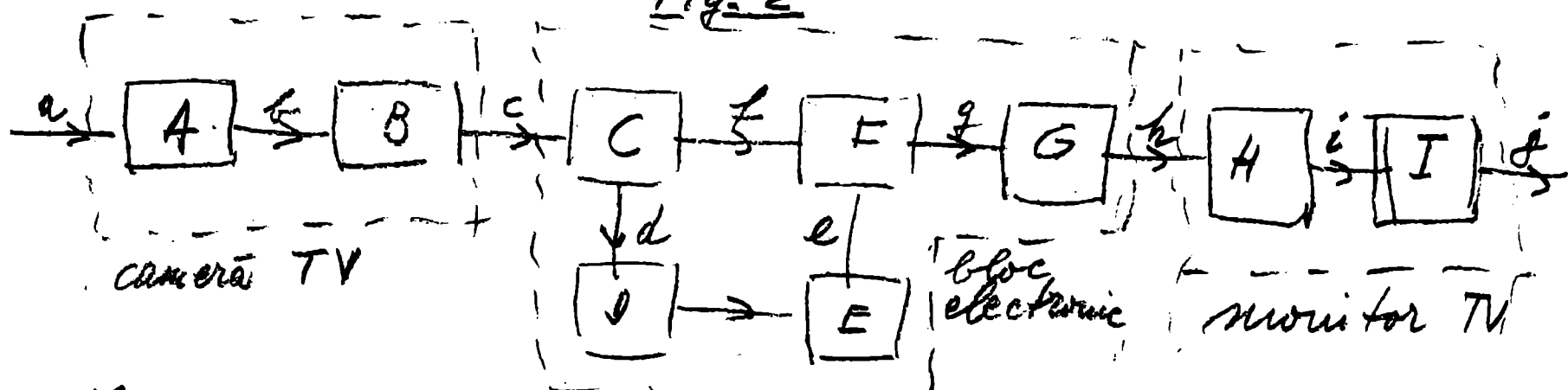


Timid cont de (vezi fig. 1) (5)  $\tan \beta_2 = \frac{\partial f_1}{\partial x}$  - obtinem din (3) și (4)

(6)  $f_{12}^M = [(f_1)^2 + (f_2)^2 + f_1 f_2 \cos \beta_2]$ , relație ce explicită analitic dependența retelei  $M$ , sau  $m'$ , de retelele  $F_1$  și  $F_2$ .

2. Înlocuirea în circuită geometrică a mixajului electronic.

Fig. 2



Schama prezentată în fig. 2 este următoarele blocuri funcționale:

A - traductor optic-electric; B - traductor electric 2D-electronic 1T;  
C - amplificator linear; D - filtru extragere semnal sincronizare;  
E - generator semnal electronic; F - mixer electronic; G - amplificator linear;  
H - traductor electric 1T electric 2D; I - traductor electric 2D-optic 2D.

Întrenalele între blocuri sunt codate astfel:

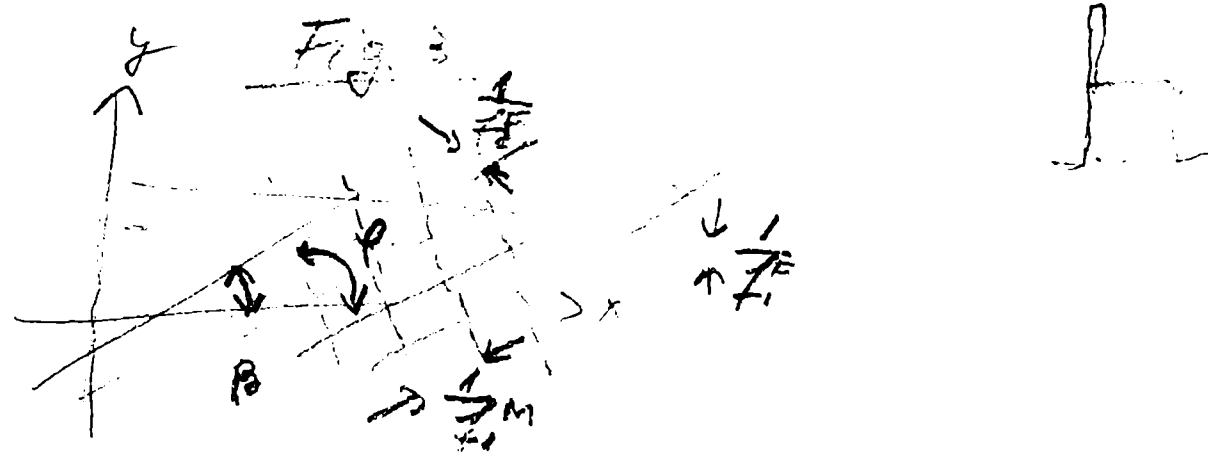
a - optic 2D; b - electric 2D; c, d, e, f, g, h, i - electric 1T, j - electric 2D,  
j - optic 2D

Interferența între semnalele optice 2D codate de retelele  $F_1$  și  $F_2$  este înlocuită cu mixarea semnalelor electronice 1T codate de reteaua  $F_1$  (după transformarea optic 2D electronic 1T) respectiv de blocul E'!

3. Eliminarea frâncelor parasite, condiții teoretice

Majoritatea mișcărilor parasite ale compozitelor multilamări holografic (translația în plan normală pe linia de vîrf, translatație reală, rotația în plan perpendicular și combinații ale lor) produc frânci paralele echidistante

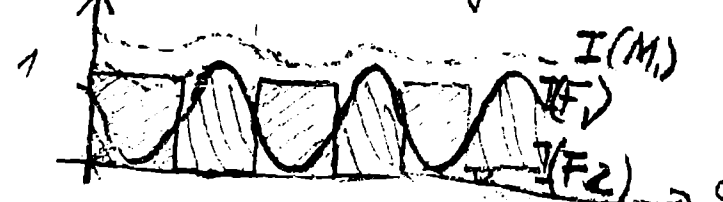
(3)



Fie retezina de frângere parazită (7)  $K_7 = f_7(x, y) = f_1^F y$   
 și rezistență generată electrică (8)  $K_8 = f_8(x, y) = f_2^F (y \cos B - x \sin B)$   
 Frângere Moiré vor fi (2) : (9)  $M_1 = M_1(x, y) = f_1^F y - f_2^F (y \cos B - x \sin B)$   
 deși este paralelă inclinată la (10)  $\varphi = \arctg \frac{f_2 \sin B}{f_2 \cos B - f_1 \cos B}$

Pentru  $f_1^F = f_2^F = f$  avem (11)  $\varphi = \frac{\pi - B}{2}$  și  $f_1^M = 2f \sin \frac{B}{2}$   
 La  $B \rightarrow 0$  (11) devine în (12)  $\varphi \rightarrow \frac{\pi}{2}$  și  $f_1^M \rightarrow 0$

Fig. 4

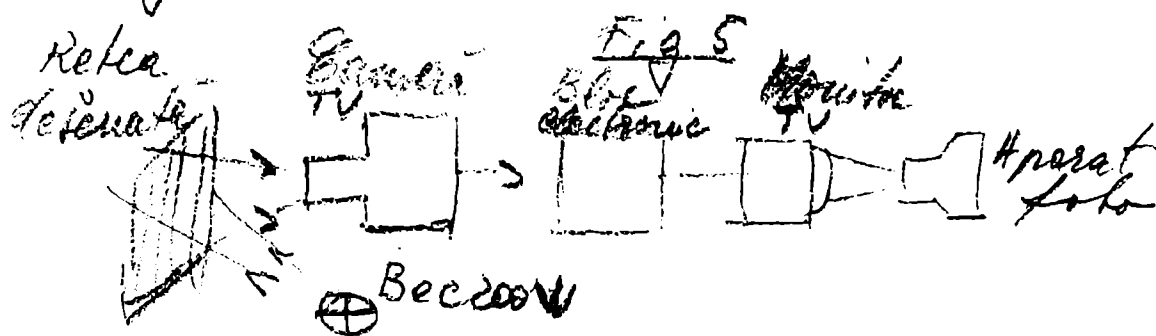


Pentru  $f_1^F = f_2^F = f$   
 $\left. \begin{array}{l} \\ B \rightarrow 0 \\ (13) \end{array} \right\}$

Dacă avem (12) ineleptant "stergereea"  $f_5$  se produce (Fig. 9)  
 pentru factor de mărire  $[f_1^F, I(F_2)]$  și mai apropiat  
 și fără decalaj ca  $\frac{f_1^F}{2}$ .  
 Pe fundal aproximativ uniform și cuvintă vor apărea  
 frângeri oblice  $F_3(x, y)$ .

### Experimental

1. Verificarea echivalenței interferenței geometrice cu  
 rezistență electrică.



Am folosit ca retea preluată optic o retea de obiecte  
 echidistantă dislocată pe hârtie. Blocajul electricic  
 ar trebuit să regleze în misarea  $F_1$  cu  $F_2$ : raportul inimicitable  
 prezentă  $F_2$ , inclinare (18)  $F_2$ , factor de mărire  $F_2$ , faza  $F_2$ .

⑦ b) Eliminarea traiectorilor parasite de pe imaginiile primare (virtuale) ale interferogramelor holografice.

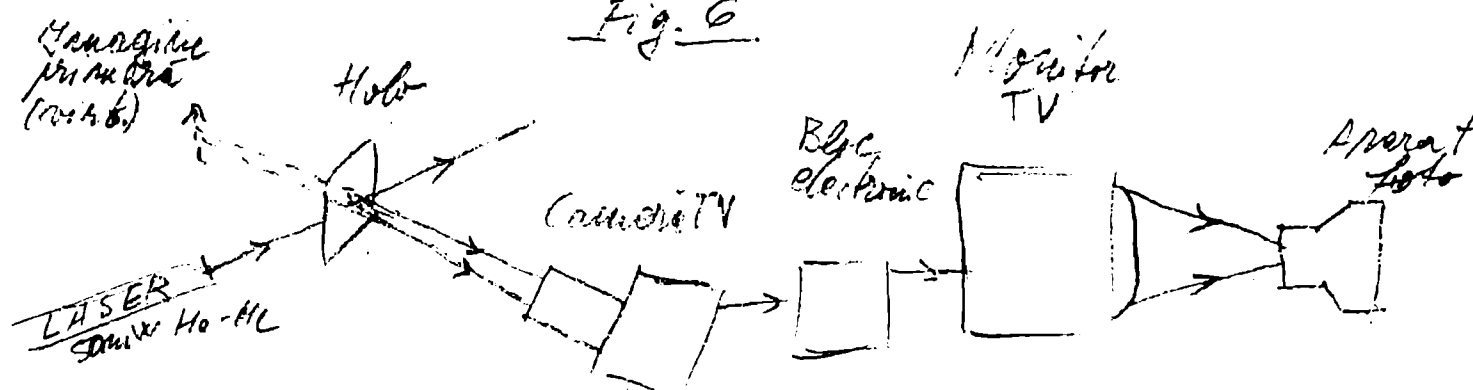


Fig. 6.

Foto 10 prezintă imaginea primară (virtuală) a unei HDE făcută unui paralelipiped metalic compact supus la presiune.

Foto 11 prezintă rezultatul eliminării traiectorilor parasite din HDE. Se observă de cerc vizibile decrinc punctele de egală deformare pe direcție de vizare, interfrață  $\approx 3 \cdot 10^{-7}$  m. Paralelipipedul se comprimă pe direcția de aplicare a presiunii și flămbează pe obiectivele perpendiculare pe aceasta.

c) Eliminarea traiectorilor parasite de pe imaginiile conjugate (reale) ale interferogramelor holografice

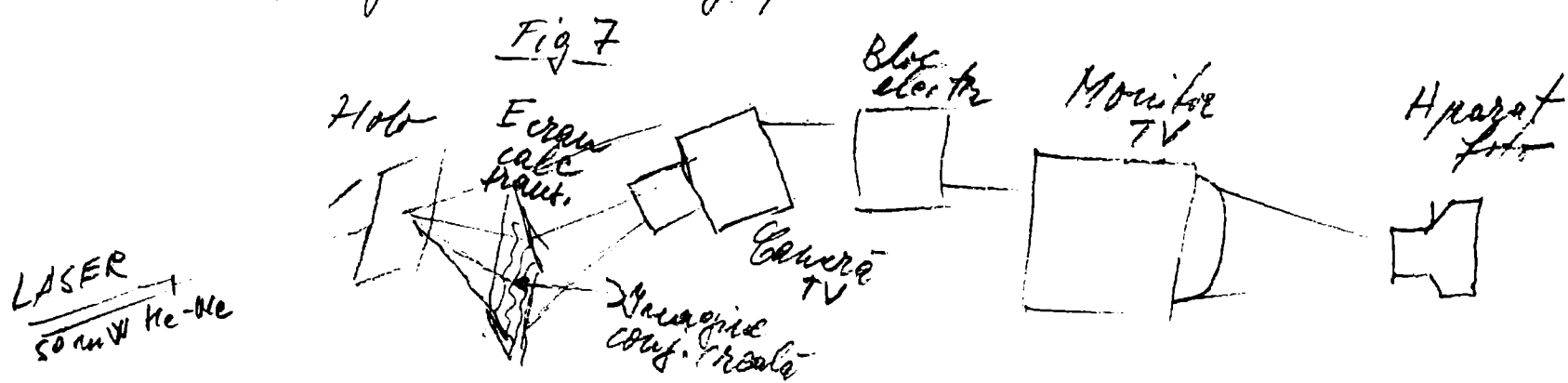


Fig. 7

Foto 12 prezintă imaginea conj. (reală) a unei HDE făcută unui paralelipiped metalic compact supus la presiune. Fragile parasite vizibile se observă cu mișcări parasite apărute într-o expoziție.

Foto 13 prezintă....

Mantionam: În aprecierea rezultatelor am neglijat, ea fiind în ordine de marime mai mică față de rezultatul următor, distorsiunile optice (lumini foto, plăci holografice, imagini intermedii, obiective TV foto) și distorsiunile electronice (camera TV, monitor TV, bloc electronic).

P) Acele reglaje posibile electronice: contrast camera TV, rezistor TV  
reglaj optice: iluminare (intensitate  $F_0$ ), obiectiv de interdigilim  
fără lentile (frecvență  $F_1$ ), posibilitate de deplasare camera TV  
(frecvență  $F_2$ , inclinare  $F_3$ , fază  $F_4$ ).

Rezultatele obtinute (foto 1) confirmă schimbările  
interdigilim optice cu auxiliu electronic.

2. Verificarea corectitudinii metodei prin compararea rezultatelor  
obtinute cu cele ale altor metode.

Foto 2 prezintă 1HDE făcută unei rechetele bolilei  
de mucovisc. Sistemul de fraje vizibile este datat  
unei rotații medii, mici ( $n \approx 1$ ), apărute într-o expunere.

Foto 3 prezintă rezultatul eliminării frajelor parazite  
prin metoda de Mirea clasică.

Foto 4 prezintă rezultatul eliminării frajelor parazite  
prin metoda proiecției exterioare. Diferențele între rezultate  
se datorează rezoluția diferență (foto 3 și pe hologramă,  
foto 4 de pe foto 2) și procedeul diferență (foto 3 tricromie,  
foto 4 microdensitometrie).

Foto 5 prezintă 1HDE făcută unei matrice ușoare în regim  
de funcționare. Sist. de fraje vizibile este datat unei  
mucoviscități ușoare apărute într-o expunere.

Foto 6. prezintă rezultatul eliminării frajelor parazite  
prin metoda sandwich.

Foto 7. prezintă rez. eliminării fraj. par. prin Mirea elect.

3. Posibilități de aplicare, rezultate.

a) Eliminarea frajelor parazite de pe fotografii făcute  
interferogramelor holografice.

Cu montajul prezentat în fig. 5 am preluat imaginea  
unei 1HDE făcute unui corp de pompe supus la presiune (foto 8).

După eliminarea frajelor parazite am obținut foto 9.

Frajele vizibile în central foto 9 sunt liniile de egală  
deformare pe direcția de visare, interfranță  $\approx 3 \cdot 10^{-7}$  m (ZF).

Punctele de discontinuitate a derivației frajelor corespund  
concentratorilor de efort de pe suprafața capului de pompe

## Concluzii

Metoda de eliminare a fr. par. din I.H. pe Mirele gen. elect. poate fi aplicata: fotografie după I.H.; imaginitor pr. (virt.) asortajele I.H. (echivalența unei I.H. cu o multitudine de interferometre clasice) recompunând fotografiea imaginitor pr. și conj. neutră lumeni. Proiecție suplimentară (camera TV și experimentator în conj. precum și condiții de lucru mai bune).

Versatilitatea remarcabilă a metodei este atestată de posibilitatea de aplicare a numeroase precum și de limitele largi de variație a parametrilor refleci de frâne de pe foto-grană (parțial optică și montajului);

cu progresarea de libertate în cercarea său de imaginea oferită de holotomă sau foto), parametrii refleci de frâne generat electrice (partea electrică a montajului și blocul electric generând diverse reacții, camera TV, monitor TV).

Comparativ cu alte metode de obținere a I.H. (ele care elimină născările parazite sau ele care elimină frânele parazite) care să nu contină efecte parazite, acea propusă mai sus este mai puțin complicată, mai rapidă și etc.

## REFERAT

asupra lucrării de diploma a absolventului Axinte Vasile-Doru  
"Control nredictiv holografic. Eliminarea frangilor parazite  
din I.H. printr-o metodă de Moiré generat electricnic".

Lucrarea de diploma a tov. Axinte conține rezultatele  
obținute în activitatea depusă la IFTAR - S. Laseri, Colectivul  
Holografie, în tot anul universitar 1978/79. După o documentare  
tehnica în probleme de holografie, control holografic nredictiv  
și tehnici Moiré, autorul a abordat problema de primă importanță  
a eliminării frangilor parazite din I.H.

Lucrările cu o aparatură pusă la punct autun,  
tov. Axinte a evidențiat atât posibilitățile ei remarcabile,  
cât și o serie de subiecte care ar trebui să i se aducă  
pentru o operare mai simplă și mai precisă.

Experimentele de eliminare a frangilor parazite  
din I.H. prin metoda de Moiré generat electricnic (propusă de noi)  
au fost efectuate pe urmă:

- retele simple;
- fotografii de interferograme holografice;
- imagini produse de I.H. (virtuale și reale);

Lucrarea de diploma este realizată în grăjdit, continând  
principalele rezultate experimentale obținute, schemele de principiu  
ale montajelor realizate, interpretarea rezultatelor și concluziile  
interesante.

Rezultatele obținute de tov. Axinte Doru au fost incluse  
într-o lucrare științifică, care va fi prezentată la Simp. "Programe  
fizice" (Măgurele, 21.06.79) și publicată într-o revistă de prestigiu.  
Ela servește și la subvenționarea aparatului de control nredictiv  
industrial prin metode holografice, care se realizează în IFTAR.

Ca urmare a considerațiilor expuse, suntem de  
părere că lucrarea de diploma a tov. Axinte este realizată la  
un nivel ridicat, dovedind calitățile autonome de competență,  
precizie și perseverență. Propunem acordarea calificativului maxim.

12.06.79

AV. 116



**INSTITUTUL DE**  
**FIZICA ATOMICA**  
**BUCURESTI**